



ESTUDIO HIDROLÓGICO, HIDRÁULICO, SANITARIO Y DE SOCAVACIÓN DEL PROYECTO "MEJORAMIENTO DE LA MOVILIDAD PEATONAL (ETAPA 1) A LA ENTRADA DEL CASCO URBANO DEL MUNICIPIO DE BELEN DE LOS ANDAQUIES Y UN PARQUE BIOSALUDABLE EN ELMUNICIPIO DE ALBANIA, EN EL DEPARTAMENTO DELCAQUETA"





FLORENCIA - JUNIO DE 2020

Pacto Social por el Desarrollo de Nuestra Región "Caquetá Somos Todos"

Carrera 13 Calle 15 Esquina Barrio El Centro. Tels: 57 (8) 4353220 Fax (8)4351704 Línea Gratuita: 018000965505. www.caqueta.gov.co contactenos@caqueta.gov.co gobernador@caqueta.gov.co





TABLA DE CONTENIDO

	tenido			
1.	INTRODUCCIÓN			5
1.1	LOCALIZACIÓN			6
2.	Objetivo general	.¡ERROR! MA	RCADOR NO DEFI	NIDO.
3.	Objetivos específicos	.¡ERROR! MA	RCADOR NO DEFI	NIDO.
	INFORMACIÓN HIDROLÓGICA			
	PRECIPITACIÓN			
	CURVASI INTENSIDAD – DURACIÓN - FRECUENCIA			
	Curvas de Intensidad Duración Frecuencia			
	VALORES DE CAUDALES MÁXIMOS MENSUALES	•		
	ÁREA DE LA CUENCA			
	CÁLCULO DE CAUDALES DE OBRAS MAYORES	•		
	MÉTODOS DE CÁLCULO DE CAUDALES PARA OBRAS TRAI			
7.1	MÉTODO RACIONAL			
	HIDROGRAMA UNITARIO SCS			
	CÁLCULO DE CAUDALES DE BOX CULVERT	•		
	CÁLCULO DEL TIEMPO DE CONCENTRACIÓN			
	KIRPICH			
	California Culverts			
	BRANSBY WILLIAMS			
	VERIFICACIÓN DE DIMENSIONAMIENTO DE LAS ESTRUCTURAS			
	MODELO HIDRÁULICO HEC RAS			
10.	RESULTADOS DE LOS MODELOS HIDRÁULICOS	•		
10.1	Box 1			
11.	CÁLCULO DEL CAUDAL DEL PONTÓN K6+280 Q. LA TURB	IA¡Error!	MARCADOR	NC
DEFIN	IIDO.			
12.	MODELO HIDROLÓGICO HEC-HMS			
13.	RESULTADOS DEL MODELO HIDROLÓGICO DE LA CUENCA 6+280			
14.	MODELO HIDRÁULICO PONTÓN K6+280	•		
15.	RESULTADOS DEL MODELO HIDRÁULICO PARA EL PONTÓN K6+280.			
16.	CÁLCULO DE CAUDALES MÁXIMOS INSTANTÁNEOS DEL			
16.1	RESULTADOS DEL MODELO HIDRÁULICO	.¡ERROR! MA	RCADOR NO DEFI	NIDO.
16.2	TARLA RESUMEN DE RESULTADOS DEL MODELO HIDRÁLILICO	:FPPOPI MA	DCADOD NO DEEL	MIDO

Pacto Social por el Desarrollo de Nuestra Región "Caquetá Somos Todos"





DG-10	
17. ESTUDIO DE SOCAVACIÓN	34
18. SOCAVACIÓN GENERAL	
19. OBRAS DE PROTECCIÓN RÍO ORTEGUAZA	
	•
19.1 MODELO HIDRÁULICO RÍO DE SUPERFICIE INICIAL	•
19.1.1 RESULTADOS DEL MODELO HIDRÁULICO PARA EL ESCENARIO I	NICIAL¡ERROR! MARCADOR NO
DEFINIDO.	
19.1.2 ZONA DE PROTECCIÓN PARA PONTEADERO	;ERROR! MARCADOR NO DEFINIDO.
20. CONCLUSIONES Y RECOMENDACIONES	
20. CONCECCIONES I NECOMENDACIONES	······································
LISTA DE TABLAS	
Tabla 1 valores máximos mensuales de precipitación en 24 horas (mm)	¡Error! Marcador no definido.
Tabla 2 valores máximos mensuales en 24 horas (mm)	
Tabla 3 Valores mensuales máximos de caudales (m³/s)	¡Error! Marcador no definido.
Tabla 4 Características morfométricas de las micro - cuencas	
Tabla 5 Cálculo de caudales	
Tabla 6 Verificación de dimensionamiento	
Tabla 7 Verificación de dimensionamiento	
Tabla 9 Valores máximos anuales de caudal	
Tabla 10 Resultados de caudales máximos para cada distribución de probabil Marcador no definido.	
Tabla 11 Caudales transpuestos en el punto de estudio	:Error! Marcador no definido.
Tabla 12 Resultados del modelo hidráulico Río Orteguaza	
INDICE DE ILUSTRACIONES	
Ilustración 1 Localización Departamento	6
Ilustración 2 Localización Municipio	
Ilustración 3 Localización del proyecto	
Ilustración 4	
Ilustración 5 Localización de la Estación	
Ilustración 6 Cuenca Río Orteguaza Ilustración 7 Cuenca Río Orteguaza	
llustración 8 Fuentes hídricas que intersecan el proyecto	
Ilustración 9 B1 Aguas Arriba	
Ilustración 10 B1 Águas abajo	
Ilustración 11 B2 Aguas Arriba	iError! Marcador no definido.
Ilustración 12 B2 Aguas Abajo	
Illustración 13 B3 Aguas Arriba	
Ilustración 14 B3 Aguas abajoIlustración 15 B4 Aguas Arriba	
Ilustración 16 B4 Aguas Abajo	
naonación to Da riguación bajo	perrori marcador no definido.

Pacto Social por el Desarrollo de Nuestra Región "Caquetá Somos Todos"





Nit: 800.091.594-4 DG-10

Ilustración 17 B5 Aguas Arriba	
Ilustración 18 B5 Aguas Abajo	
Ilustración 19 B6 Aguas Arriba	
Ilustración 20 B6 Aguas abajo	
Ilustración 21 B7 Aguas Arriba	
Ilustración 22 B7 Aguas abajo	
Ilustración 23 B8 Aguas Arriba	
Ilustración 24 B8 Aguas Abajo	
Ilustración 23 Cuenca pontón 6+280	
Ilustración 24 Datos de entrada del modelo hidrológico	
Ilustración 25 Cuenca modelo Hidrológico	
llustración 26 Resultados de caudal del punto de descarga	
Ilustración 27 Sección hidráulica del eje de la vía	
Ilustración 28 Levantamiento topográfico	¡Error! Marcador no definido.
Ilustración 29 Planta de modelo Hidráulico	
Ilustración 30 Sección K0+400	¡Error! Marcador no definido.
Ilustración 31 Sección K0+450	¡Error! Marcador no definido.
Ilustración 32 Sección K0+500	¡Error! Marcador no definido.
Ilustración 33 sección K0+550	¡Error! Marcador no definido.
Ilustración 34 Sección K0+600	¡Error! Marcador no definido.
Ilustración 35 Sección K2+500	¡Error! Marcador no definido.
Ilustración 36 Sección K0+700	¡Error! Marcador no definido.
Ilustración 37 Sección K0+750	¡Error! Marcador no definido.
llustración 38 K0+850	¡Error! Marcador no definido.
Ilustración 39 Sección K0+900	
Ilustración 40 Sección típica para paso vehicular en zona de ponteadero	
Ilustración 41 Socavación en Sección K2+500	
Ilustración 42 Socavación en Sección K0+700	
Ilustración 43 Socavación en K3+100	
Ilustración 44 Zona de desborde	
Ilustración 45 Zona vulnerable de protección en ponteadero	
Ilustración 46 Secciones de batimetría estudiadas	
Ilustración 47 Abscisa k0+650 con zona vulnerable a desbordamiento	Error! Marcador no definido.
Ilustración 48 Zona de dragado	
Ilustración 49 Sección batimétrica de dragado	
Ilustración 50 Resultados del modelo hidráulico con superficie dragada	
Ilustración 51 sección hidráulica en zona de ponteadero	
Ilustración 52 Localización de la estructura de conteción	
Ilustración 53 Resultados de modelo hidráulico con Dique	
	1





1. INTRODUCCIÓN

Conforme a los lineamientos establecidos en la normatividad actual, en cuanto a Estudios y Diseños Hidrológicos, hidráulicos y de socavación, se analizarán los cauces localizados entre la abscisa K0+000 y K16+293 del proyecto "MEJORAMIENTO DE LA MOVILIDAD PEATONAL (ETAPA 1) A LA ENTRADA DEL CASCO URBANO DEL MUNICIPIO DE BELEN DE LOS ANDAQUIES Y UN PARQUE BIOSALUDABLE EN ELMUNICIPIO DE ALBANIA, EN EL DEPARTAMENTO DELCAQUETA", el cual tiene como principal cuenca el Rio.

El presente volumen cuenta con la información necesaria para proteger la infraestructura en cuanto a la altura máxima de lámina de agua en el Río Pescado para el periodo de retorno de 100 años, y la correspondiente profundidad de socavación.





1.1 LOCALIZACIÓN

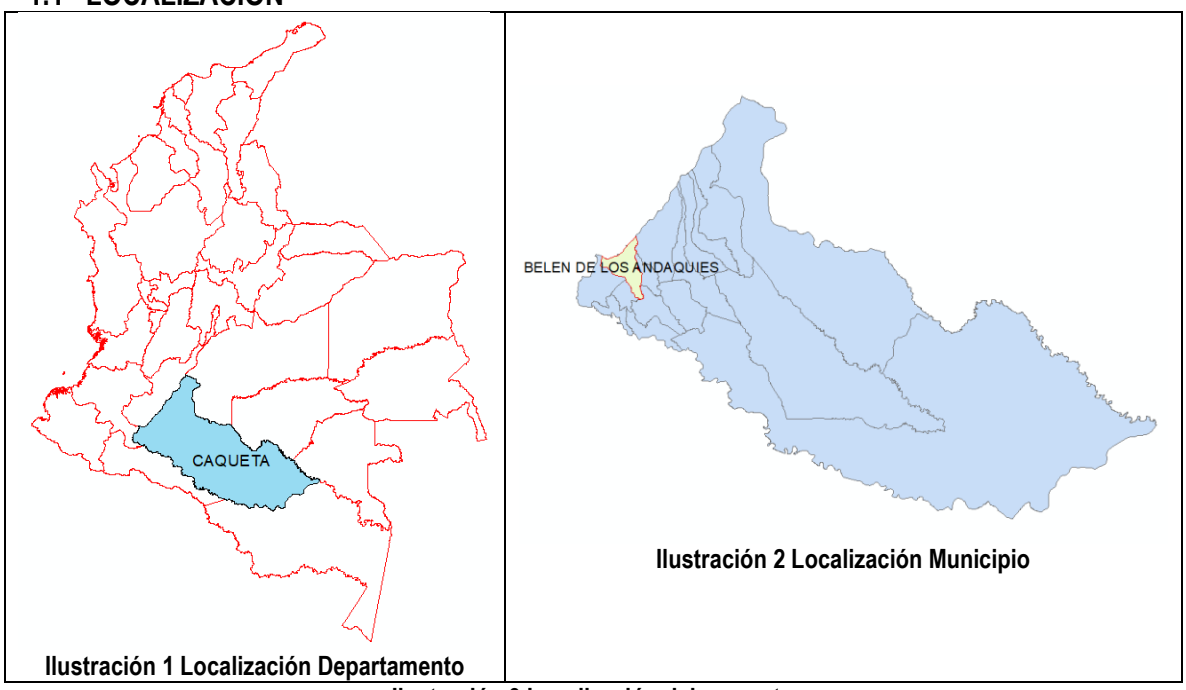


Ilustración 3 Localización del proyecto

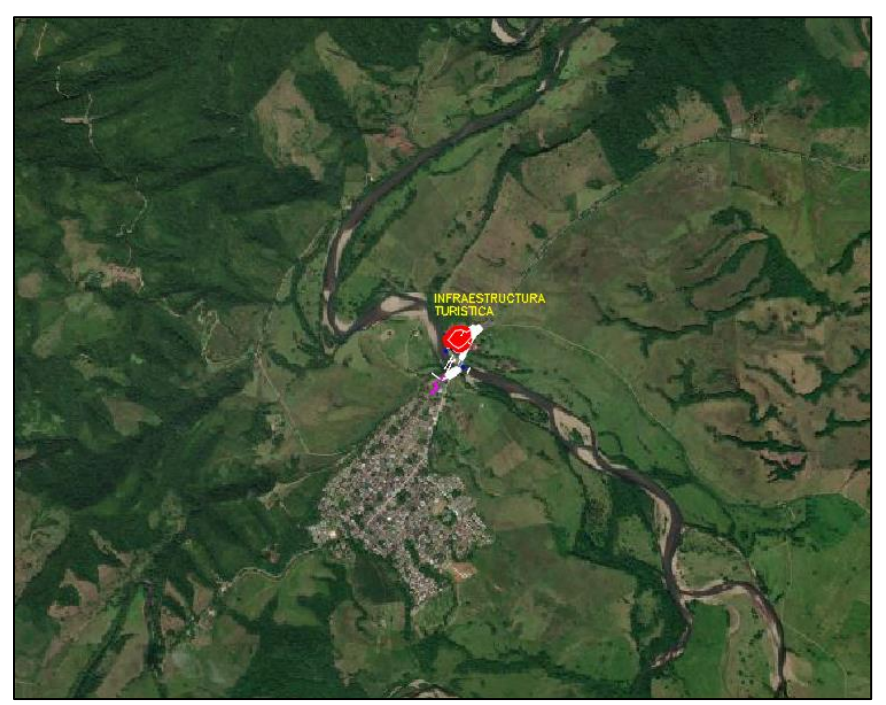


Ilustración 4 Localización del proyecto en Belén de los Andaquíes

Pacto Social por el Desarrollo de Nuestra Región "Caquetá Somos Todos"

Carrera 13 Calle 15 Esquina Barrio El Centro. Tels: 57 (8) 4353220 Fax (8)4351704
Línea Gratuita: 018000965505. www.caqueta.gov.co contactenos@caqueta.gov.co

gobernador@caqueta.gov.co





2. Características del Municipio

Belén de los Andaquíes es un municipio fundado en febrero de 1917, cuenta con 11.663 habitantes para el año 2017, de los cuales 6.669 pertenecen al casco urbano del municipio, está ubicado a 44.6 km de Florencia – Caquetá, y tiene una extensión de 980 Km2.

Las principales actividades productivas del municipio se derivan del sector agropecuario en donde priman los cultivos de plátano, yuca, caña, cacao y maíz. Así mismo el renglón de la ganadería tiene su importancia dentro de las actividades productivas del municipio. Por su parte en el área urbana priman las actividades comerciales del sector servicios.

El municipio cuenta con los servicios de energía eléctrica, aqua potable, telefonía fija y móvil, internet, y distribución de gas propano.

2.1 Vías de Comunicación

El sistema de transporte conforma una red que permite la comunicación interna y externa del municipio, está constituido por las vías de carácter nacional (red primaria), departamental (red secundaria) y local (red terciaria), y por los medios de transporte terrestre. Estos sistemas son los principales canales para la articulación e integración del municipio a nivel intramunicipal, departamental, regional y nacional.

Red vial. El análisis de la red vial es importante para la comprensión de los vínculos entre las áreas rurales y el núcleo urbano del municipio y entre éste con los demás centros urbanos del departamento y el país. El nivel de integración, cohesión y organización del territorio municipal depende en gran medida, del grado de desarrollo de su red de carreteras y caminos rurales.

El municipio de Belén de los Andaquíes cuenta con 211 kilómetros de longitud de la red de carreteras (ver cuadro siguiente). Esta red vial está conformada por el tramo de la carretera Marginal de la Selva en una extensión de 26 kilómetros pavimentados y la red de vías terciarias que tiene una longitud total de 185 km. En el casco urbano existe una malla vial de 14,61 km de longitud que permite la movilidad de la población.

2.2 Climatología

Para la caracterización climática del municipio de Belén de los Andaquíes se utilizaron los parámetros de dos estaciones meteorológicas: La Mono y Valparaíso.



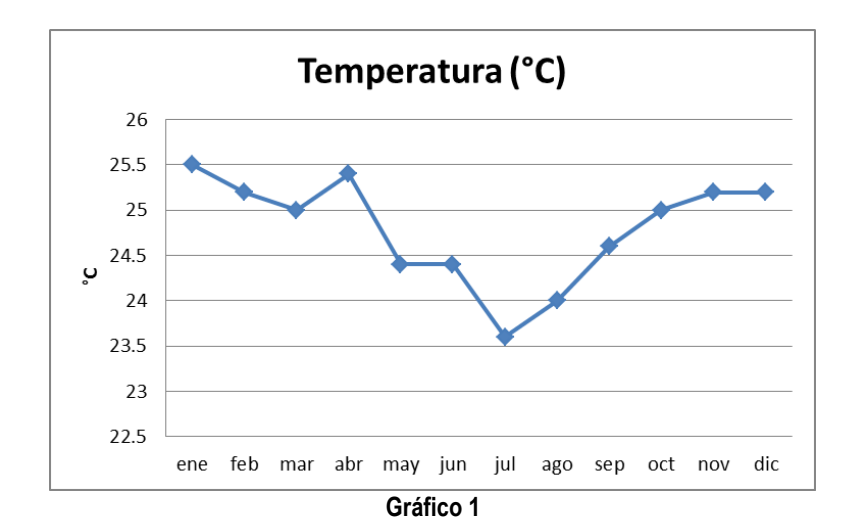


Tabla 1 Parámetros Climatológicos estación La Mono

Parámetro	ene	feb	mar	abr	may	jun	jul	ago	sep	oct	nov	dic
Temperatura (°C)	25.5	25.2	25	25.4	24.4	24.4	23.6	24	24.6	25	25.2	25.2
Humedad (%)	84	85	87	89	88	89	89	88	87	87	86	86
Evaporación (mm)	101	90.4	90.9	81.8	82.5	78.6	81.3	86.2	93.9	88.4	93.8	91.5
Brillo solar	143	99.3	84.9	95.1	112	106	112	121	137	146	142	154
Velocidad del viento (m/s)	0.8	0.8	0.8	0.9	0.8	1	1	1	0.9	0.8	0.8	0.8

2.3 Humedad Relativa

La humedad relativa refleja los periodos de máximas y mínimas precipitaciones, presentándose una menor humedad en los meses más secos lluvias y una mayor humedad en los meses más lluviosos. No obstante el promedio mensual es bastante alto situándose en 86,4%, su valor aumenta en el sector montañoso debido a las mayores precipitaciones y a la alta nubosidad.

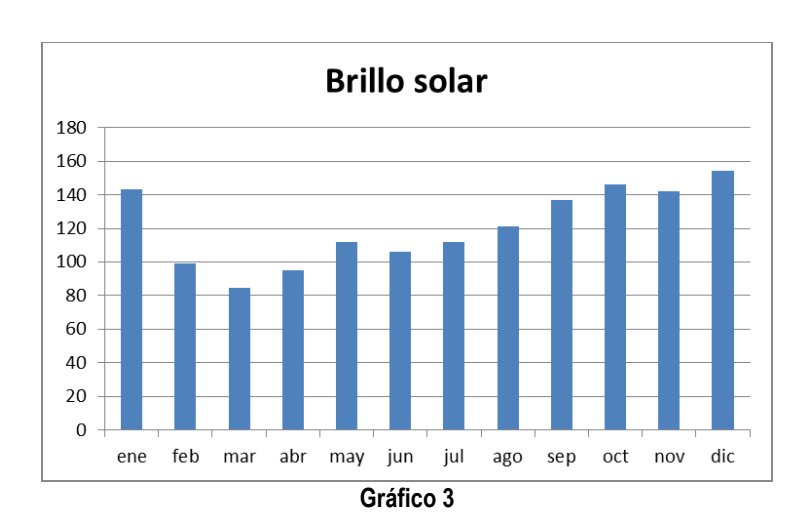


Pacto Social por el Desarrollo de Nuestra Región "Caquetá Somos Todos"





Humedad (%) 90 89 88 87 86 85 84 83 82 81 feb mar abr may jun jul oct nov ago sep Gráfico 2



2.4 Características Socio Económicas

La evolución de la población del municipio es proporcionada por los registros oficiales del DANE a partir de la información censal de 1951, 1964, 1973, 1985, 1993. En el primer período intercensal 1951-1964 el municipio manifestó un incremento poblacional importante del 151,7% (equivalente a 9.878 habitantes) pero a partir de 1964 hasta 1973 presentó una tasa de crecimiento demográfico negativa de -2,74%, situación debida a que en el censo de 1964 se incluyó la población de Belén de los Andaquíes y Albania como corregimientos de Belén de los Andaquíes y en el de 1973 se excluyó, es decir, se censó en forma independiente.





En el segundo período intercensal de doce años (1973-1985) se presentó una tasa negativa del -0.31%, debido a que en el censo de 1973 se consideró la población de San José del Fragua la cual era corregimiento del municipio de Belén de los Andaquíes y en 1985 se censó de manera independiente; el siguiente periodo (1985- 1993) también muestra una tasa de crecimiento negativa del -3,6% lo cual posiblemente se deba a la migración de la población hacia el municipio de San José del Fragua recién creado en noviembre de 1985, que presentaba frentes de colonización más activos. De hecho, San José del Fraqua para 1993 ya contaba con una población superior a la de Belén de los Andaquíes.

El crecimiento acelerado en estos períodos, el municipio de Belén de los Andaquíes presentó decrecimiento demográfico. A diferencia de la población rural la población de la cabecera municipal ha tenido una tasa de crecimiento positiva en los períodos intercensales así: entre 1973 y 1985 del 1,88%, entre 1985 y 1993 del 4,38% y entre 1993 y 2005 del 3,9%, lo que significa un aumento progresivo de los habitantes urbanos. Sin embargo, el índice de ruralidad es de 52,24% para el 2005. significando que aún existe más población rural que urbana.

A continuación se muestra la proveccion de la población 2012 - 2023, tiempo equivalente a la vigencia del Esquema de Ordenamiento Territorial, basado en cifras oficiales del censo 2005 del DANE.

2.5 Índice de necesidades básicas insatisfechas. (N.B.I)

Según la proyección de población del DAN E para el año 2016 urbana y rural, basada en el Censo 2005, se cuenta con 6593 y 5008 personas, respectivamente; de allí se tiene que el 36.35% del total de población urbana (equivalentes a 2.396 personas), se encuentra con Necesidades Básicas Insatisfechas, mientras que de la parte rural se presenta el 59.9% (equivalentes a 2.999 personas).

2.6 Tasa de Mortalidad

Tasa de mortalidad de menores de 1 año - (Infancia) Según el Informe GPS de Infancia y Adolescencia 2010, basado en el DAN E 2011, el comportamiento de la mortalidad infantil en el municipio es menor relacionado con la tasa de mortalidad infantil departamental. Para el año 2008 y 2009 la incidencia fue mayor en este municipio con respecto al departamento (Tasa de mortalidad municipal de 16.IXIOOONV y de 13.9XIOOONV respectivamente; Tasa de mortalidad departamental de 12.1x1000 NV y 11.5x1000NV respectivamente), lo que se relaciona con eventos de Trastornos respiratorios específicos del periodo perinatal e infecciones respiratorias agudas.

La primera es una patología de manejo médico que no depende de las acciones ejecutadas por la población, diferente a la segunda en la cual las acciones comunitarias son básicas para evitar las complicaciones de la misma.

2.7 Acueducto, Alcantarillado y Aseo





AGUAS ANDAKI S.A. E.S.P. Empresa de Servicios Públicos de Belén de los Andaguíes Acueducto, Alcantarillado y Aseo, fue creada en el año 2009 como una empresa de economía Mixta por acciones, con el objeto social de prestar los servicios públicos de acueducto, alcantarillado y aseo en el municipio de Belén de los Andaquíes. Actualmente atiende a 1.472 usuarios o suscriptores en el área urbana con una cobertura de 98% para acueducto, 93% para alcantarillado y 100% para aseo.

Mediante Resolución 0390 del 03 de mayo de 2007, se otorga Concesión de Aqua Superficial para uso doméstico a la Alcaldía Municipal de Belén de los Andaguíes para el proyecto "acueducto Municipal de Belén de los Andaquíes". La cantidad concedida es de 26.52 1/s de la fuente hídrica superficial quebrada La Resaca, por un término de diez (10) años.

A través de la Resolución No.0952 del 14 de Diciembre de 2009, se aprueba el Programa para el Uso Eficiente y Ahorro del Agua (PUEAA), del municipio de Belén de los Andaquíes, departamento de Caquetá, cuyo responsable de la prestación del servicio de acueducto corresponde a la empresa de servicios públicos AGUAS ANDAKI S.A. E.S.P. por el término de cinco años.

Que mediante Concepto Técnico 0473, Mayo de 2010, la Dirección Territorial Caquetá de CORPOAMAZONIA, realizó el primer seguimiento al Programa para el Uso Eficiente y Ahorro del Agua (PUEAA), del municipio de Belén de los Andaquíes, encontrando un cumplimiento del 60% de las obligaciones estipuladas en el Artículo 2º de la Resolución.

3. Información Hidrológica

Se realizó verificación de la información disponible para medición de caudales del Río Pescado en el municipio de Belén de los Andaquíes, sin embargo, no se encontraron registros sobre dicha fuente superficial en ninguna parte del trazado.

Por lo anterior, se verificaron estaciones cercanas que pudiesen suministrar información relevante para la construcción de curvas IDF, o las generadas por el Instituto de Instituto de Hidrología, Meteorología y Estudios Ambientales para la región.

El área de estudio cuenta con dos estaciones meteorológicas e hidrológicas, para recopilación de datos, ubicadas en en el aeropuerto Gustavo Artunduaga Paredes de la ciudad de Florencia, y Río Hacha en la bocatoma del acueducto de la ciudad, sin embargo, se utilizará la información disponible en la estación 44035020, la cual, cuenta con registros para la determinación de curvas de intensidad, duración y frecuencia.





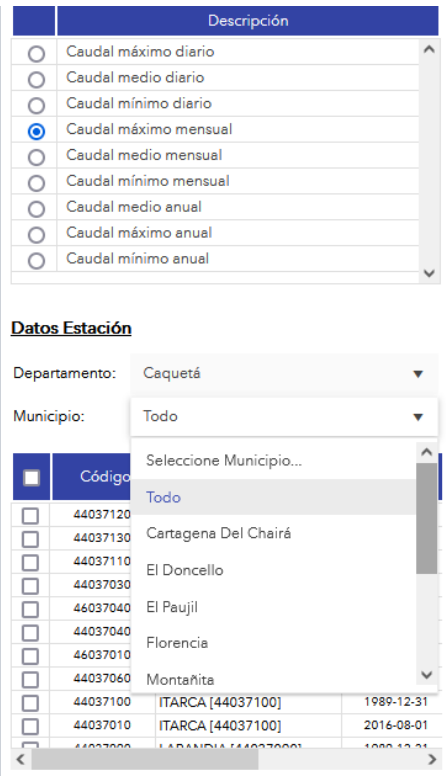


Ilustración 5

Catálogo Nacional Estaciones: AEROPUERTO G ARTUNDUAGA [44035020]							
CÓDIGO	44035020						
NOMBRE	AEROPUERTO G ARTUNDUAGA [44035020]						
CATEGORIA	Climática Ordinaria						
LONGITUD	-75,56						
LATITUD	1,59						
ALTITUD	244,00						
DEPARTAMEN	Caquetá						
MUNICIPIO	Florencia (Caquetá)						
ESTADO_EST	En Mantenimiento						
TECNOLOGÍ	Convencional						
FECHA_INST	10/14/1969 7:00:00 PM						
FECHA_SUSP							

Fuente: http://www.ideam.gov.co/solicitud-de-informacion

Pacto Social por el Desarrollo de Nuestra Región "Caquetá Somos Todos"

Carrera 13 Calle 15 Esquina Barrio El Centro. Tels: 57 (8) 4353220 Fax (8)4351704
Línea Gratuita: 018000965505. www.caqueta.gov.co contactenos@caqueta.gov.co gobernador@caqueta.gov.co





3.1 CURVASI INTENSIDAD – DURACIÓN - FRECUENCIA

T (años)						t (min)						
1 (41103)	10	15	30	40	50	60	70	80	90	100	110	120
2.33	151.78	119.97	80.26	67.92	59.68	53.69	49.10	45.44	42.44	39.92	37.78	35.92
5	175.48	138.70	92.79	78.53	69.00	62.07	56.76	52.53	49.06	46.16	43.67	41.52
10	200.18	158.23	105.85	89.58	78.71	70.81	64.75	59.93	55.97	52.65	49.82	47.37
20	228.36	180.50	120.75	102.19	89.79	80.78	73.87	68.36	63.85	60.06	56.83	54.04
25	238.25	188.32	125.98	106.62	93.68	84.28	77.07	71.32	66.61	62.67	59.30	56.38
50	271.78	214.83	143.71	121.63	106.86	96.14	87.92	81.36	75.99	71.49	67.64	64.31
100	310.04	245.07	163.94	138.75	121.90	109.67	100.29	92.82	86.69	81.55	77.16	73.37

3.1.1 Curvas de Intensidad Duración Frecuencia.

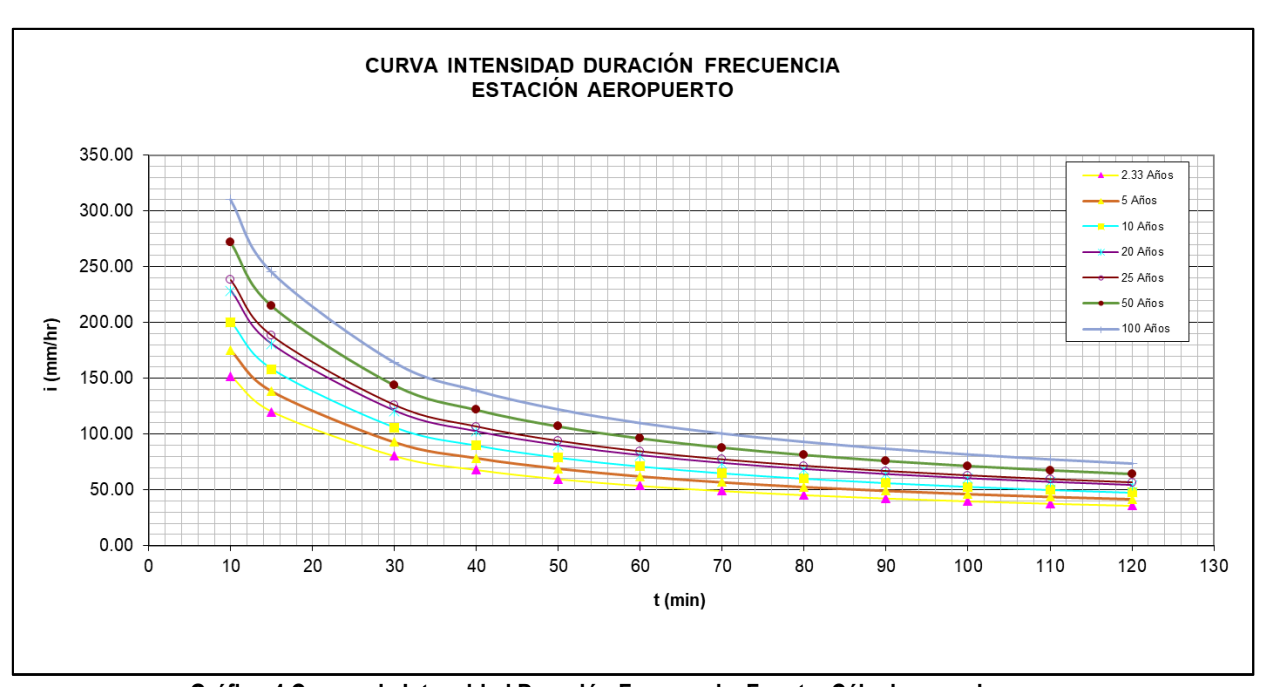


Gráfico 4 Curvas de Intensidad Duración Frecuencia, Fuente: Cálculos propios

4. ÁREA DE LA CUENCA

Pacto Social por el Desarrollo de Nuestra Región "Caquetá Somos Todos"

Carrera 13 Calle 15 Esquina Barrio El Centro. Tels: 57 (8) 4353220 Fax (8)4351704 Línea Gratuita: 018000965505. www.caqueta.gov.co contactenos@caqueta.gov.co





El punto localizado en las coordenadas Norte 649404.86 y Este 1134466.62, en el sistema MAGNA SIRGAS origen Oeste, se encuentra en la hoya hidrográfica del Río Pescado, el cuál tiene como principales fuentes:

Tabla 2 Fuentes Principales de la cuenca del Río Pescado

511103	i illioipaico ac la caciloa aci ix
1	Río Pescado
2	Quebrada El Guajo
3	Quebrada La Resaca
4	Quebrada Cerinda
5	Río San Luis
6	Quebrada Genova
7	Quebrada Salado
8	Quebrada Aguablanca
9	Quebrada La Soledad
10	Quebrada La Arenosa
11	Quebrada Quisaya
12	Quebrada La Tigrera
13	Río Bodoquerito

Fuente: Cartografía Belén de los Andaquíes

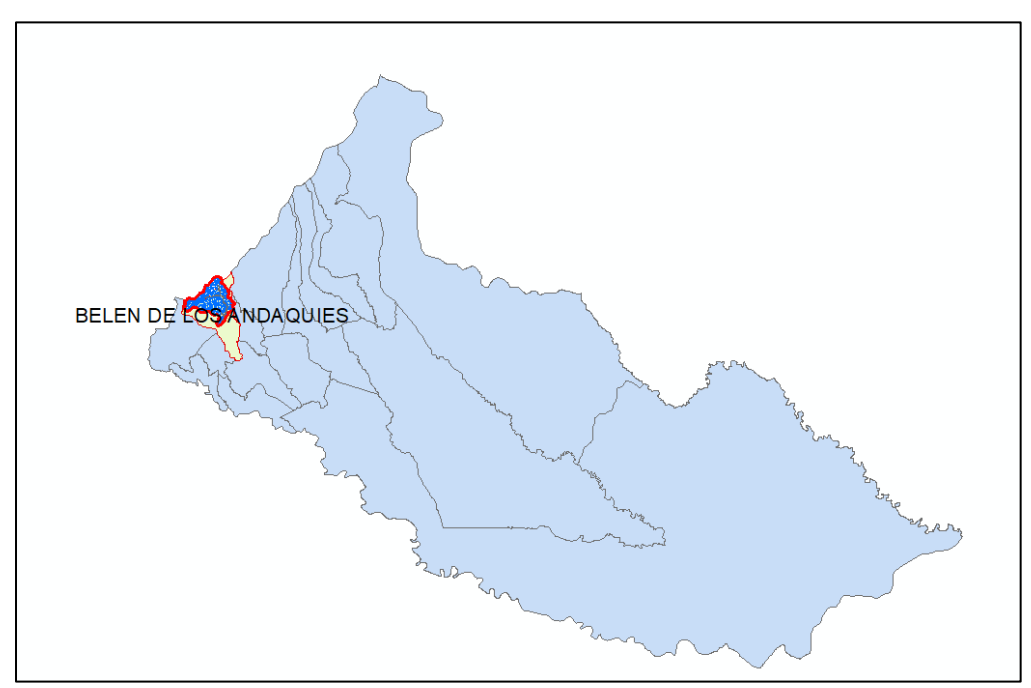


Ilustración 6 Localización de la cuenca en el Caquetá

Pacto Social por el Desarrollo de Nuestra Región "Caquetá Somos Todos"









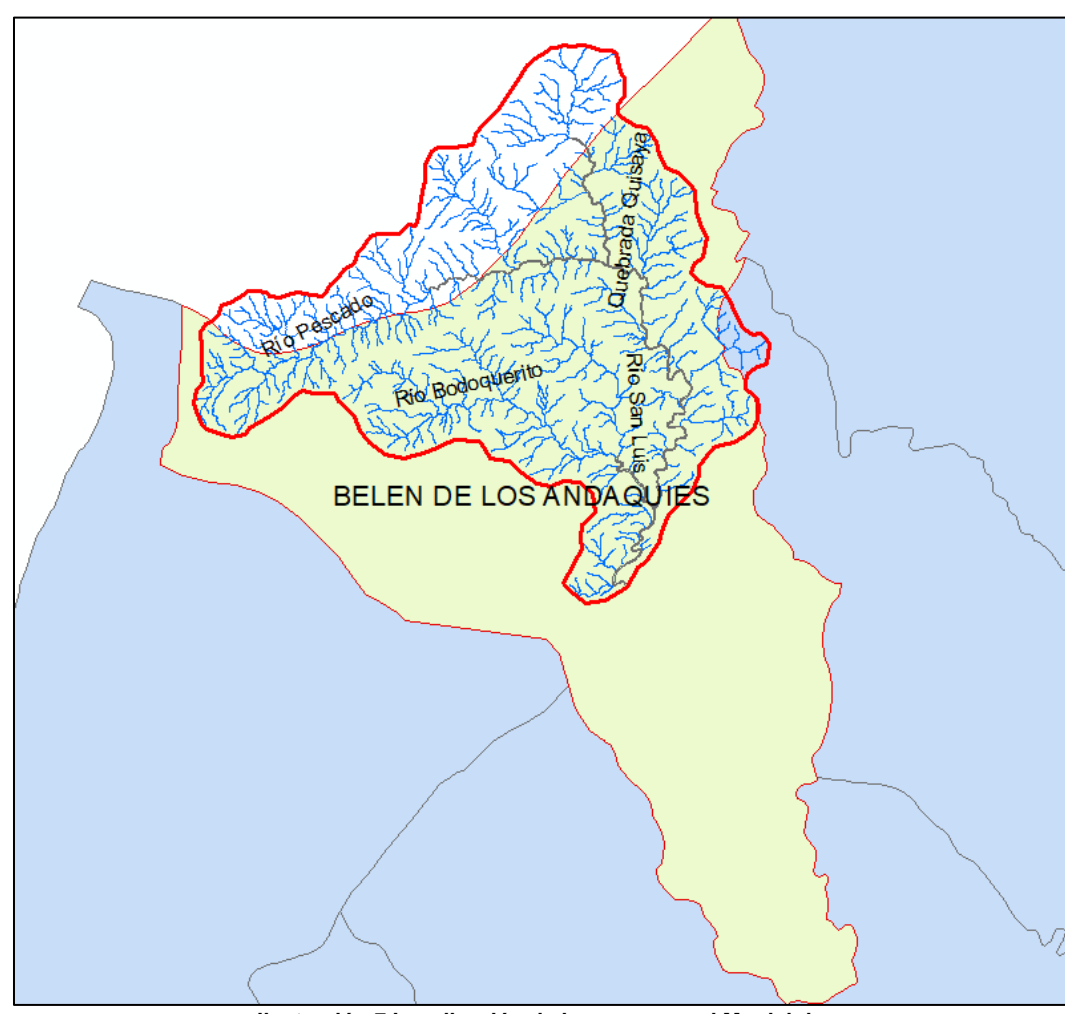
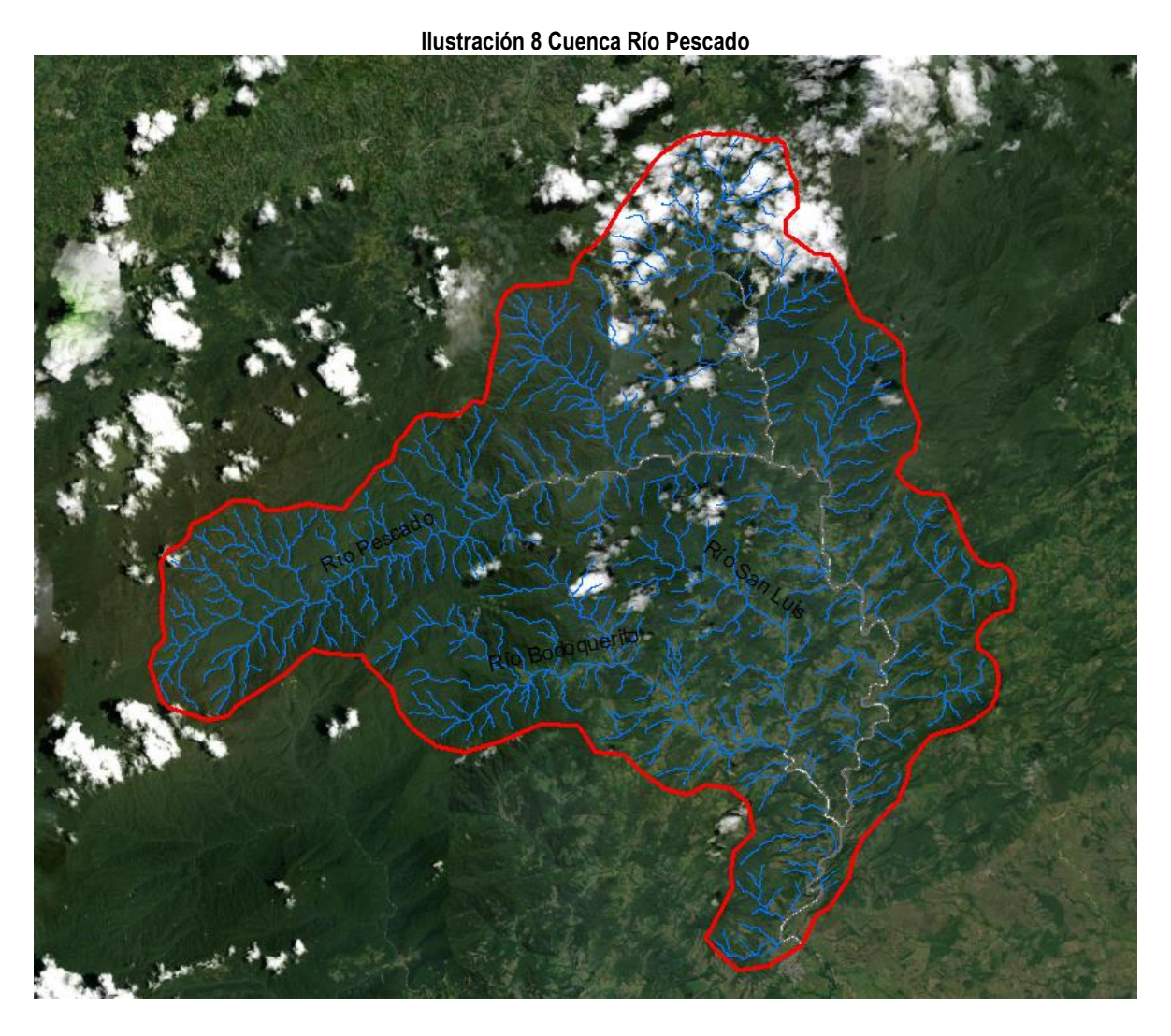


Ilustración 7 Localización de la cuenca en el Municipio







Fuente: Herramienta GIS

5. MÉTODOS DE CÁLCULO DE CAUDALES PARA OBRAS TRANSVERSALES

5.1 MÉTODO RACIONAL

El método racional, el cual empezó a utilizarse alrededor de la mitad del siglo XIX, es probablemente el método más ampliamente utilizado hoy en día para el diseño de alcantarillados de aguas lluvias (Pilgrim,1986; Linsley,1986). A pesar de que han surgido críticas válidas acerca de lo adecuado de este método, se sigue utilizando para el diseño de alcantarillados debido a su simplicidad. Una vez que se ha seleccionado la distribución y se han determinado los tamaños de las tuberías por el método

Pacto Social por el Desarrollo de Nuestra Región "Caquetá Somos Todos"

Carrera 13 Calle 15 Esquina Barrio El Centro. Tels: 57 (8) 4353220 Fax (8)4351704
Línea Gratuita: 018000965505. www.caqueta.gov.co contactenos@caqueta.gov.co gobernador@caqueta.gov.co





racional, la bondad del sistema puede verificarse utilizando un tránsito dinámico de los hidrogramas de caudal a través del sistema.

La idea detrás del método racional es que, si una lluvia con intensidad i empieza en forma instantánea y continua en forma indefinida, la tasa de escorrentía continuará hasta que se llegue al tiempo de concentración te, en el cual toda la cuenca está contribuyendo al flujo en la salida. El producto de la intensidad de lluvia "i" y el área de la cuenca A es el caudal de entrada al sistema, i A,Y la relación entre este Caudal y el caudal pico Q (que ocurre enel tiempo te) se conoce como el coeficiente de escorrentía

$$Q = CiA$$

Comúnmente, Q está dado en pies cúbicos por segundo (cfs), i en pulgadas por hora y A en acres, por lo cual el factor de conversión (1cfs=1.008 acre.pulg/hora) se considera incluido en el coeficiente de escorrentía. La duración utilizada para la determinación de la intensidad de precipitación de diseño i es el tiempo de concentración en la cuenca.

En áreas urbanas, el área de drenaje usualmente está compuesta de sub áreas o sub cuencas de diferentes características superficiales. Como resultado, se requiere un análisis compuesto que tenga en cuenta las diferentes características superficiales. Las áreas de las sub cuencas se denominan como Ai y los coeficientes de escorrentía para cada una de ellas se denominan como la escorrentía pico, la cual se calcula al utilizar la siguiente forma de la fórmula racional:

$$Q=i\sum_{j=1}^m C_jA_j$$

5.2 Hidrograma unitario SCS

Este método, desarrollado por el SCS, también llamado del "número de curva" consta de dos partes. En la primera de ellas se hace una estimación del volumen de escorrentía resultante de una precipitación - escurrimiento directo, en la segunda se determina el tiempo de distribución del escurrimiento, incluyendo el caudal de punta.

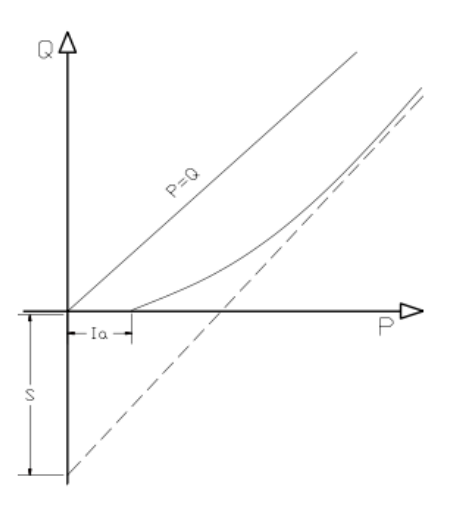
La estimación del escurrimiento correspondiente a una lluvia, se hace con el siguiente procedimiento:

Los datos de lluvia más generalmente disponibles son los totales medidos en pluviómetros y para tales datos se ha desarrollado la relación lluvia - escorrentía. Esos datos son los totales de una o más





tormentas que ocurren en un día del calendario, y nada se sabe acerca de su distribución en el tiempo, por eso es que la relación excluye al tiempo como la variable explícita. Relacionando el escurrimiento con la lluvia se obtiene generalmente una relación como la que indica la figura siguiente:



Para precipitaciones (P) menores que la, no tiene lugar el escurrimiento superficial (Q). la consiste principalmente en pérdidas por intercepción, almacenamiento en depresiones e infiltración, antes de que se produzca el escurrimiento.

Para cantidad de Iluvia en aumento, la curva Q en relación con P se aproxima asintóticamente a una línea recta paralela (S) se llama retención potencial máxima, que es la máxima cantidad de lluvia que la cuenca puede absorber. Como hay muchas curvas que cumplen la condición de pasar por el punto (la, Q) y aproximarse asintóticamente a:

Q = P - S, se necesita definir otra condición para establecer la forma de la curva.

Esto se hace estableciendo que la relación entre la retención real (P - la - Q), y la retención potencial máxima (S) es igual a la relación entre la escorrentía real (Q) y la escorrentía potencial máxima (P la):

$$\frac{P - I_a - Q}{S} = \frac{Q}{P - I_a}$$

La experiencia práctica ha demostrado que la es aproximadamente el 20% de la retención potencial máxima, así la = 0.2 S, por lo que la ecuación de escurrimiento puede escribirse como:





$$Q = \frac{(P - 0.2S)^2}{P + 0.8S}$$

El valor de S (en pulgadas) se relaciona con el número de curva de escorrentía (CN) por la definición:

$$CN = \frac{1000}{10 + S}$$

de lo cual se deduce que para zonas pavimentadas S será igual 0 y CN = 100, mientras que las condiciones en que no se produce escurrimiento superficial S se hace infinito y CN = 0. La figura 1 presenta la ecuación de escorrentía en forma gráfica para diferentes curvas.

Para determinar el volumen de escurrimiento, debe hacerse una estimación del valor de CN, el cual depende de características de la cuenca tales como uso de la tierra, condiciones del suelo y condiciones de humedad de la cuenca en el momento de ocurrir, la precipitación.

Se conocen y aceptan tres clases de condiciones de humedad antecedentes para una cuenca, según el SCS, como se muestra en cuadro siguiente:

Clases de condiciones de humedad antecedentes	Lluvia total de los 5 días anteriores (milímetros)				
	Estación sin desarrollo vegetativo	Estación de crecimiento vegetativo			
l II III	menos de 12,7mm 12,7 a 27,9mm más de 27mm	menos de 35,6mm 35,6 a 53,3mm más de 53,3mm			

Para la influencia de las características de la cuenca (uso de la tierra, condiciones del suelo) en el valor de CN, se utiliza la Tabla N° 1.

En dicha Tabla, además de la utilización de la tierra, cubierta vegetal y práctica de cultivo se hace una distinción entre condiciones hidrológicas deficientes, regulares y buenas y para cuatro grupos hidrológicos de suelos. Las condiciones hidrológicas se determinan en primer lugar por la densidad de la vegetación: praderas naturales muy pastadas se clasifican por ejemplo como "deficientes"; praderas permanentes no pastadas se clasifican como "buenas".





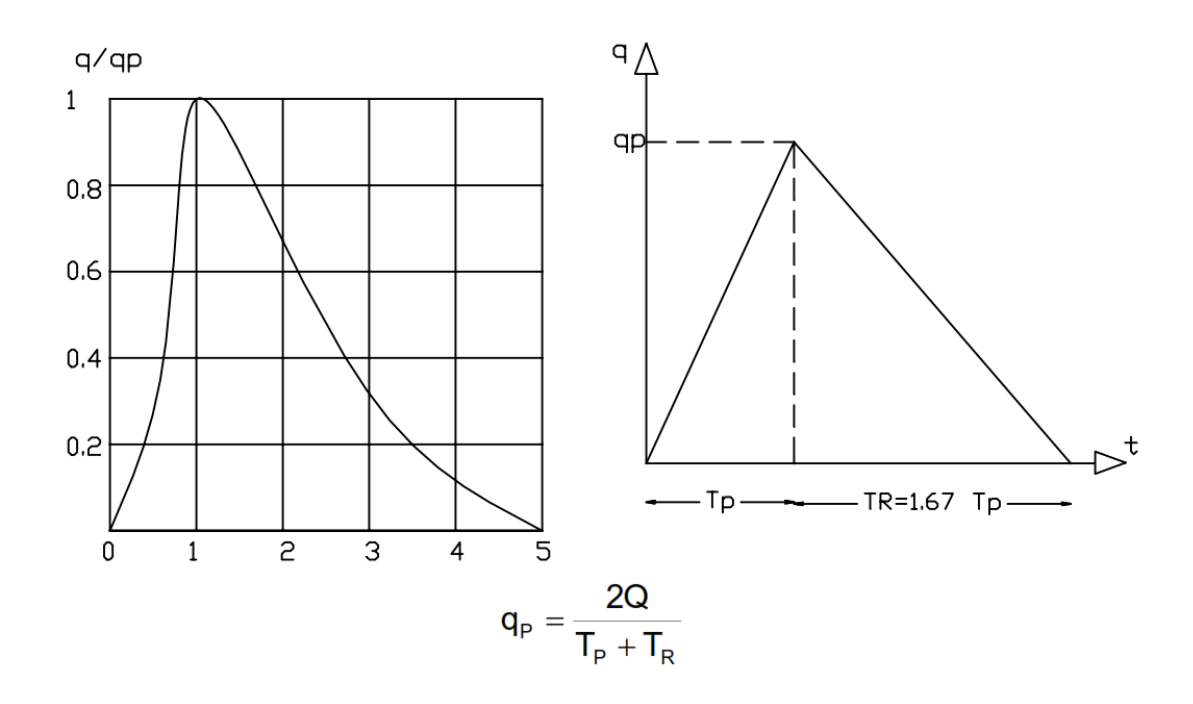
Los grupos hidrológicos de suelo se clasifican según su capacidad para transmitir agua (infiltración): el grupo A tiene una intensidad alta de transmisión de agua, el grupo B moderada, el C lenta, y el D muy lenta.

Con ayuda de la Tabla 1 y de datos experimentales de la cuenca, el número de curva para humedad precedente Clase II puede estimarse para un punto particular o para toda la cuenca de drenaje y así, utilizando la figura 1 se obtiene la cantidad de escurrimiento correspondiente a una cantidad de lluvia dada.

Luego, con la utilización de la Tabla N° 2 pueden transformarse los valores de CN de humedad precedente del suelo de Clase II a humedad precedente de suelo de Clase I o III, para los casos en que ello resulte necesario.

Para la distribución en el tiempo de la escorrentía, se procede así: se hace uso del hidrograma unitario adimensional desarrollado por el Servicio de Conservación de Suelos cuya forma está predeterminada. La escala de tiempo del hidrograma se expresa en unidades del período de ascenso (Tp) del mismo y los caudales de escurrimiento se expresan en unidades del caudal de escurrimiento de punta (qp) o con la utilización de la Tabla N°3.

Para convertir las ordenadas adimensionales del hidrograma en valores reales, debe conocerse el período de elevación (Tp) y el caudal pico o de punta (qp). Este último se obtiene utilizando la relación obtenida del hidrograma triangular sintético, como se muestra en el paso siguiente:





qp = caudal pico o de punta;

Q = volumen de escurrimiento directo (mm)

T_p = período de elevación o tiempo hasta el caudal pico;

TR= tiempo desde el caudal pico hasta el final del escurrimiento directo - recesión.

Analizando un gran número de hidrograma se encontró que en general se verifica (TR = 1,67 T_D), de manera que, si se lo introduce en la ecuación anterior, queda:

$$q_p = 0.75 \frac{Q}{T_p}$$

Introduciendo el área de aporte en Km², de manera de llevar el valor puntual a un valor representativo para toda la cuenca, el escurrimiento directo en mm, el tiempo de elevación en horas, el caudal de punta queda expresado en m³/s, de la siguiente forma:

$$q_P = 0.208 \frac{A \times Q}{T_P} \left(m^3 / s \right)$$

6. CÁLCULO DE CAUDALES MÁXIMOS INSTANTÁNEOS DEL RÍO PESCADO

Comprobada la validez de la información hidroclimatológica, se realiza el análisis de precipitaciones máximas mediante un ajuste de las series históricas a las distribuciones de frecuencia Gumbel, Normal, logNormal, Pearson III, logPearson III, GEV (Valores extremos generalizados) y Weibull seleccionando la que mejor ajuste presente de acuerdo al coeficiente de asimetría.

Estas distribuciones son:

Gumbel:

$$F(x) = pr(X < x) = \exp\left(-\exp\left(\frac{-(x - \beta)}{\alpha}\right)\right)$$

Donde,

F(x)=pr(X<x): función de distribución de frecuencia o probabilidad que una precipitación X sea menor a un determinado valor x de precipitación.

β y α: parámetros de la distribución.

Normal:

Pacto Social por el Desarrollo de Nuestra Región "Caquetá Somos Todos"





 $f(x) = \frac{1}{x\sigma_x\sqrt{2\pi}} exp^{\frac{-1(x-\mu_x)}{2}} - \infty < x < \infty$

siendo,

f(x): función de densidad de probabilidad.

donde, μx : media de la población, estimado \bar{x} .

σx: Desviación estándar de la población, estimado sx.

LogNormal de dos parámetros:

$$f(x) = \frac{1}{x\sigma\sqrt{2\pi}} exp^{\frac{-1(y-\mu_y)}{2}} \qquad x > 0$$

Donde,

f(x): función de densidad de probabilidad.

 $y = \ln x$

donde, μy : media de los logaritmos de la población, estimado $\overline{\mathcal{Y}}$.

σy: Desviación estándar de los logaritmos de la población, estimado sy.

Pearson III:

$$F(x) = pr(X < x)$$

$$= \int_{z}^{x} \frac{(x - \varepsilon)^{r-1}}{xX^{r}\Gamma(r)} \exp\left(-\left(\frac{u - \varepsilon}{\lambda}\right)du\right)$$

donde,

F(x)=pr(X<x): función de distribución de frecuencia o probabilidad que un caudal X sea menor a un determinado valor x de caudal.

r, ε, u: parámetros de la distribución

logPearson III:

$$F(x) = pr(X < x)$$

$$= \int_{z}^{x} \frac{(\ln(x) - \varepsilon)^{r-1}}{xX^{r}\Gamma(r)} \exp(-(\ln(u - \varepsilon))^{r})$$

$$/\lambda) du$$

siendo.





F(x)=pr(X<x): función de distribución de frecuencia o probabilidad que un caudal X sea menor a un determinado valor x de caudal.

r, ε, u: parámetros de la distribución

GEV:

$$F(x) = pr(X < x) = exp\left\{-\left(1 - \frac{k(x - \varepsilon)}{\alpha}\right)^{1/k}\right\}$$

donde,

F(x)=pr(X<x): función de distribución de frecuencia o probabilidad que un caudal X sea menor a un determinado valor x de caudal.

k, ε, α: parámetros de la distribución

Weibull:

$$F(x) = pr(X < x) = exp\left\{-\left(\frac{x}{\alpha}\right)^{k}\right\}$$

donde,

F(x)=pr(X<x): función de distribución de frecuencia o probabilidad que un caudal X sea menor a un determinado valor x de caudal.

k, α: parámetros de la distribución

Para realizar la prueba de bondad del ajuste de Chi cuadrado, se toma como probabilidad empírica "p" la obtenida por la fórmula de Gringorten:

$$p = \frac{i - 0.44}{n + 0.12}$$

donde,

i : posición de un valor en una lista ordenada por magnitud ascendente.

n: número total de datos

Pacto Social por el Desarrollo de Nuestra Región "Caquetá Somos Todos"





Este análisis de precipitaciones máximas se realiza en hoja de cálculo para la serie histórica final de cada estación.

7. MODELO HIDROLÓGICO HEC-HMS

HEC HMS es software de modelamiento hidrológico libre que permite representar varios procesos del ciclo hídrico superficial. El software implementa diversos modelos para simular la interceptación, pérdida, transformación, enrutamiento y almacenamiento.

HEC-HMS está indicado para la modelación de los procesos hidrológicos más habituales que se dan en una cuenca.





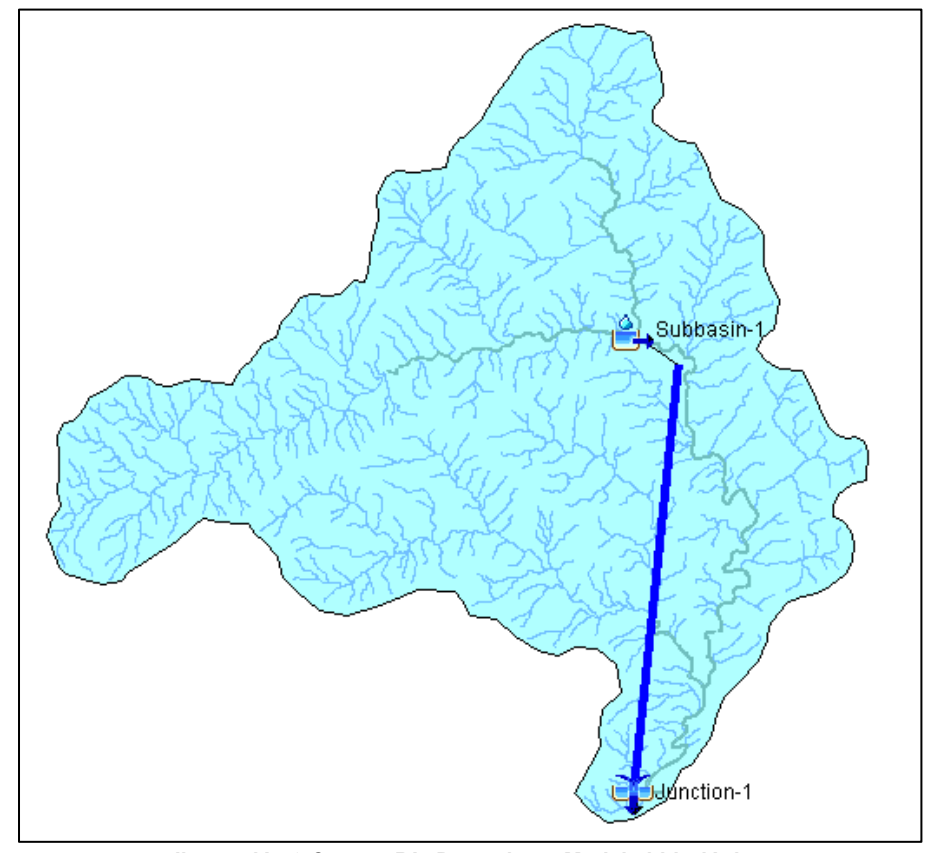


Ilustración 9 Cuenca Río Pescado en Modelo hidrológico

7.1 Cálculo del tiempo de concentración

El tiempo de tránsito del flujo desde un punto de la cuenca hasta otro puede deducirse a partir de la distancia y la velocidad de flujo. Si dos puntos a lo largo de una corriente están separados por una distancia L, y la velocidad a lo largo de la línea de corriente es v(l) donde 1 es la distancia a lo largo de la trayectoria, entonces el tiempo de tránsito t

di = v(l)dt





$$\int_0^t \frac{dl}{v(l)}$$

Para el caso que nos ocupa se calcularán los tiempos de concentración a través de las ecuaciones de Kirpich, California Culverts y Bransby Williams

7.1.1 Kirpich

$$t_c = 0.0078L^{0.77}S^{-0.385}$$

L=Longitud del canal en pies S=pendiente pie/pie

$$t_c = 0.0078\,x\,4134^{0.77}0.019^{-0.385}$$

7.1.2 California Culverts

$$t_c = 60(11.9\,L^3/H)^{0.385}$$

L= Longitud de la cuenta en millas H=diferencia de nivel

7.1.3 Bransby Williams

$$t_c = 14.6A^{-0.1}S^{-0.2}$$

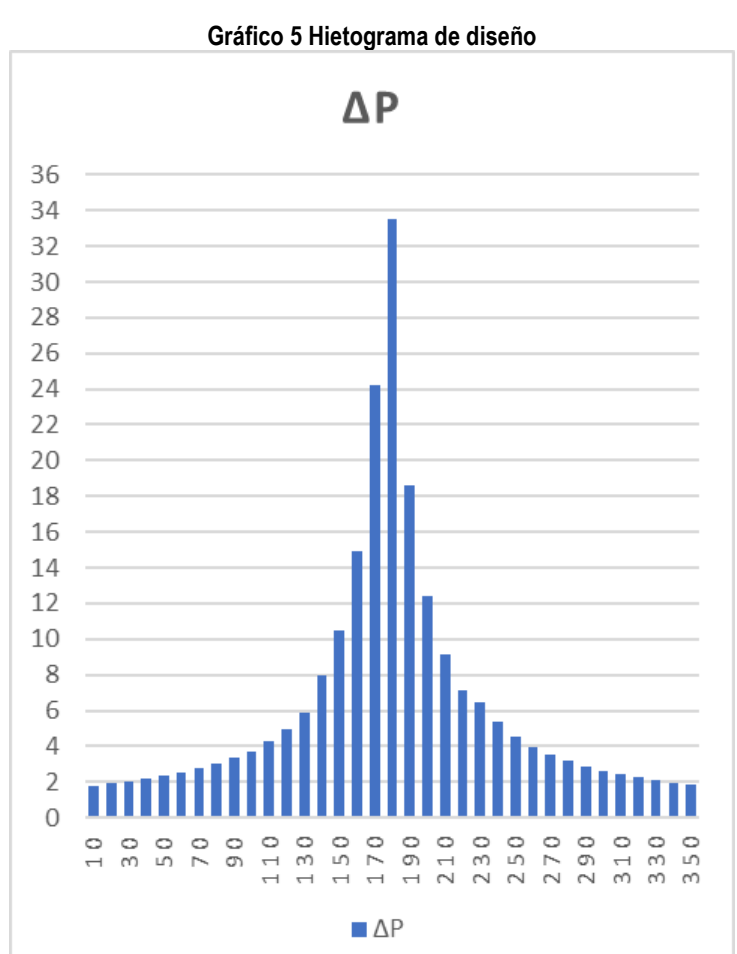
A=Área de la cuenca S=pendiente pie/pie

Cuenca	Área (m2)	Área Km2	Área (ha)	L canal	L canal en pies	L millas	Dif altura	Dif altura en pies	Pendiente
PESCADO	536119396.1	536.1193961	53611.94	52095	170872.02	31.26	1200	3936	0.0230

Tc Kirpich	Tc C. Culverts	Tc Bransby Wi	illiams	Valor medio (min
356.2	342.6	10.4		349.4





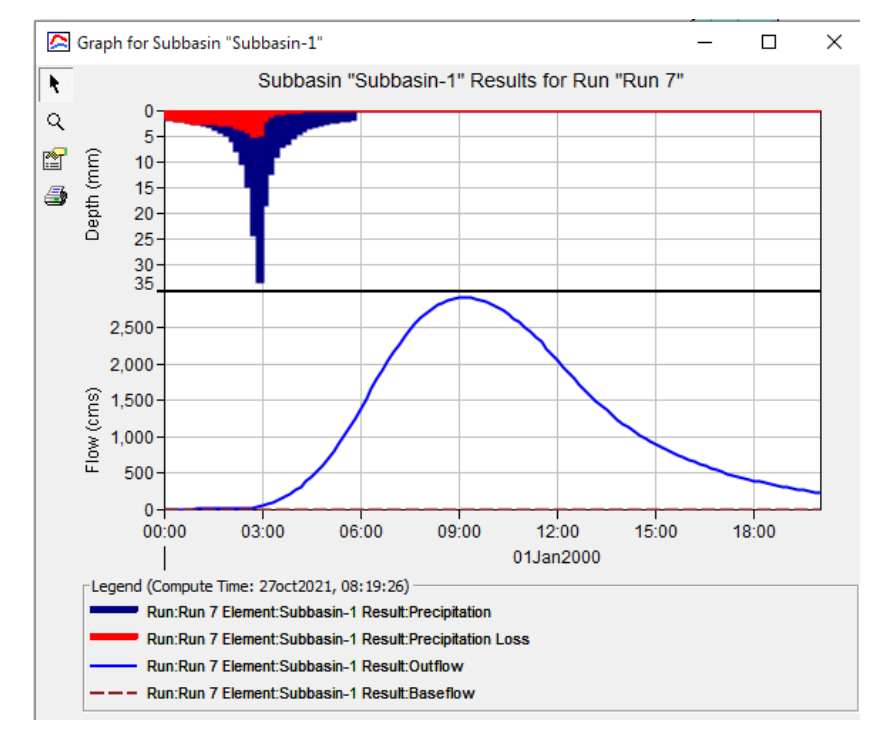


Fuente: Curvas IDF Aeropuerto Gustavo Artunduaga

8. Resultados del modelo hidrológico de la cuenca Río Pescado







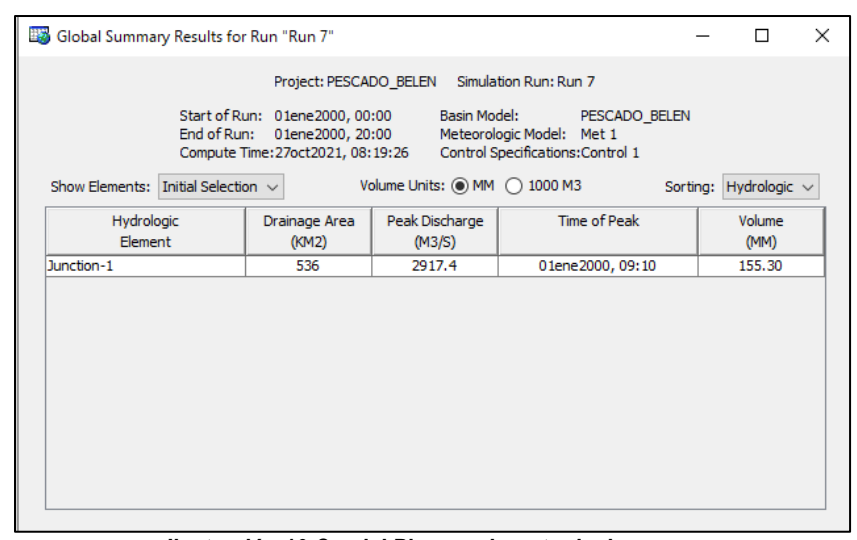


Ilustración 10 Caudal Pico en el punto de descarga

9. MODELO HIDRÁULICO HEC RAS

Para cada una de las estructuras de box culvert, se realizó el respectivo modelo en Hec-Ras, con el fin de garantizar la capacidad hidráulica de los mismos.

Pacto Social por el Desarrollo de Nuestra Región "Caquetá Somos Todos"

Carrera 13 Calle 15 Esquina Barrio El Centro. Tels: 57 (8) 4353220 Fax (8)4351704
Línea Gratuita: 018000965505. www.caqueta.gov.co contactenos@caqueta.gov.co

gobernador@caqueta.gov.co Florencia – Caquetá





Este modelo simula la hidráulica del flujo para canales de cualquier tipo de sección transversal bajo flujo gradualmente variado, trabajando de acuerdo con la ecuación de Bernoulli:

$$Z_1 + Y_1 + (V_1^2/2g) = Z_2 + Y_2 + (V_2^2/2g) + h$$

En donde:

Z: Nivel del fondo del canal aguas arriba (1) y abajo (2) del tramo, denominado este término cabeza de posición, en m.

Y: Lámina de agua aguas arriba (1) y abajo (2) del tramo, denominado este término cabeza de presión, en m.

V²/2g: Cabeza de velocidad aguas arriba (1) y abajo del tramo (2), denominado este término cabeza de velocidad, en m.

h: Pérdidas de energía en el tramo, dividiéndose en pérdidas por fricción y localizadas, en m.

Las pérdidas por fricción en el tramo hf para flujo gradualmente variado en un tramo de longitud L del canal se pueden expresar por medio de la ecuación de Manning:

$$h_f = ((Se_1 + Se_2)/2) L$$

En donde Se₁ y Se₂ corresponden a los valores de la pendiente de la línea de energía aguas arriba (1) y abajo (2) del tramo. Estos valores se expresan por medio de la fórmula de Manning para flujo uniforme en cada sección del tramo:

Se =
$$(n^2V^2/R^{4/3})$$

En donde:

n: Coeficiente de rugosidad de Manning.

V: Velocidad promedio del agua, en m/s.

R: Radio hidráulico, en m, igual al área hidráulica A, en m², dividida entre el perímetro mojado P, en m.

Por otro lado, las pérdidas localizadas hI en un punto del canal se expresan mediante la ecuación:

$$h_1 = K ABS ((V_1^2/2g) - (V_2^2/2g))$$

En donde:





K: Coeficiente de pérdidas localizadas, adimensional.

Velocidad promedio aguas arriba (1) y aguas abajo (2) del punto o tramo en donde se produce V: la pérdida localizada, en m/s.

ABS: Representa el valor absoluto del término.

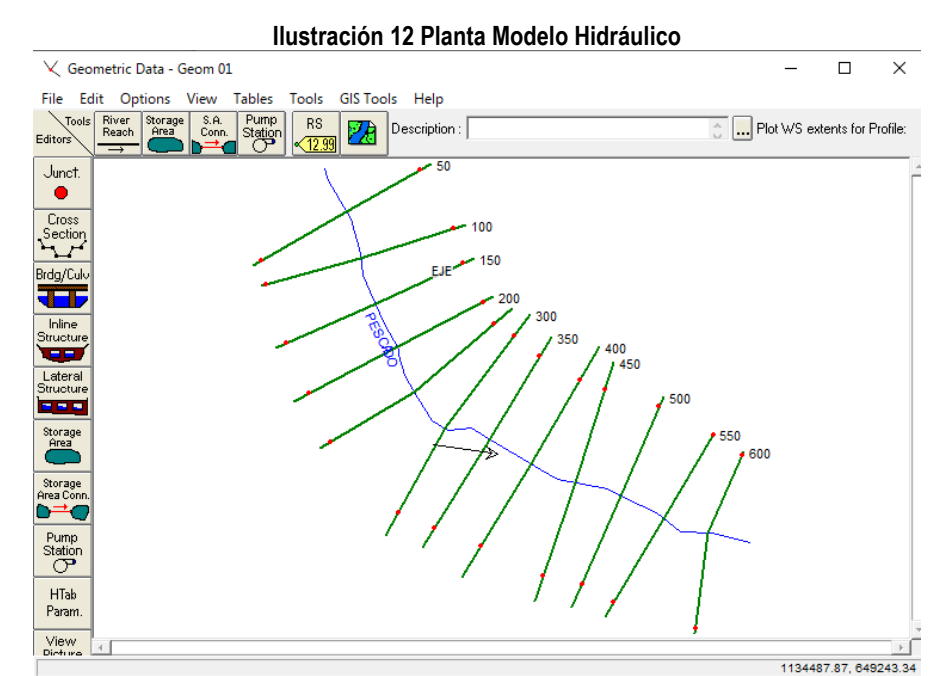
La información de secciones topográficas fue importada desde la herramienta Autocad



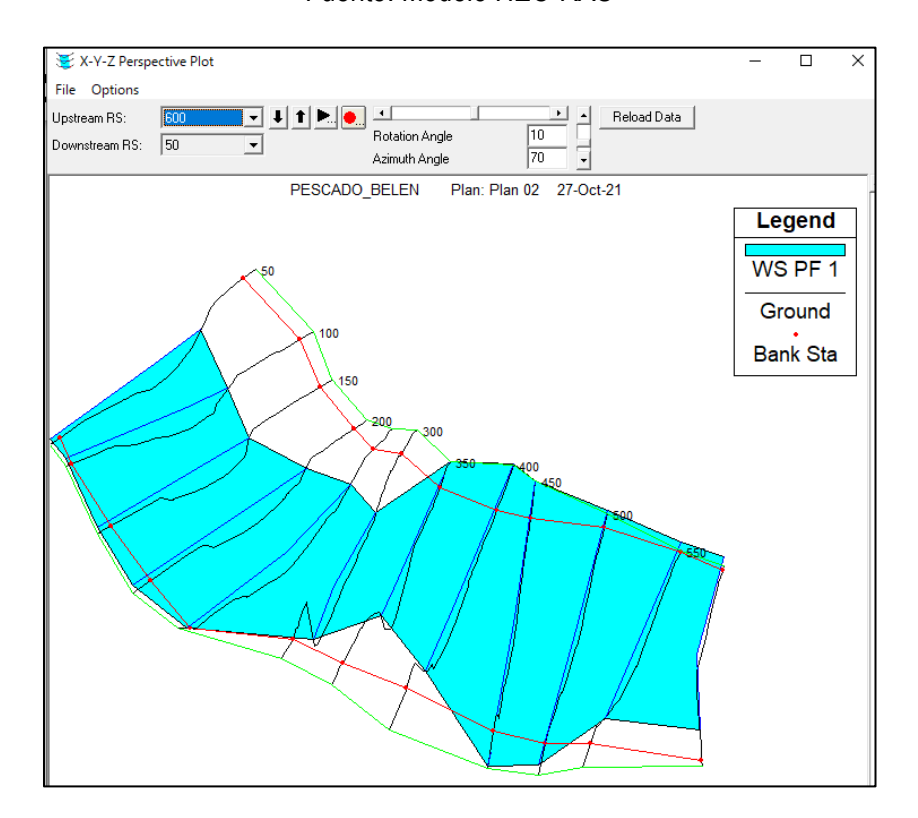
Ilustración 11 Secciones transversales para modelo hidráulico







Fuente: Modelo HEC-RAS



Pacto Social por el Desarrollo de Nuestra Región "Caquetá Somos Todos"

Carrera 13 Calle 15 Esquina Barrio El Centro. Tels: 57 (8) 4353220 Fax (8)4351704
Línea Gratuita: 018000965505. www.caqueta.gov.co contactenos@caqueta.gov.co gobernador@caqueta.gov.co



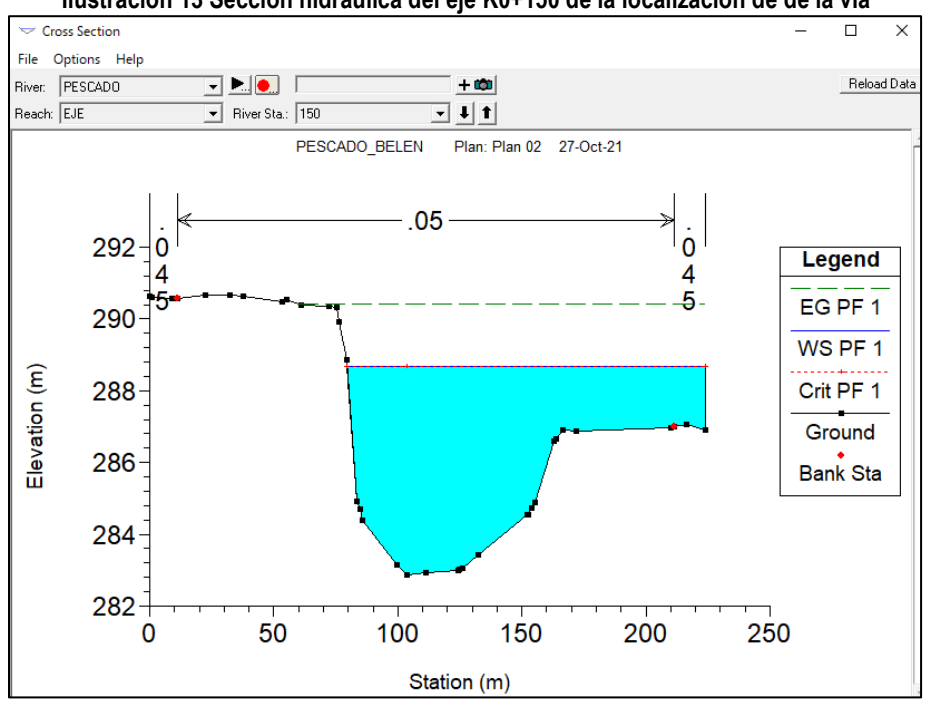


Tabla 3 Resultados del modelo hidráulico

Diver Cte	Q	Min Ch	W.S.	Crit	E.G.	E.G.	Vel	Flow	Top	Froude #
River Sta	Total	El	Elev	W.S.	Elev	Slope	Chnl	Area	Width	Chl
	(m3/s)	(m)	(m)	(m)	(m)	(m/m)	(m/s)	(m2)	(m)	
600	2917.5	282.36	287.27	287.27	288.91	0.016728	5.69	515.74	158.76	1
550	2917.5	282.56	287.48	287.48	289.05	0.017168	5.56	527.09	170.91	1.01
500	2917.5	283.1	287.43	287.43	288.68	0.017211	5.03	593.35	236.73	0.98
450	2917.5	282.48	287.58	287.58	288.92	0.015217	5.15	580.78	225.47	0.94
400	2917.5	282.87	288.27	288.27	289.67	0.014706	5.33	566.67	199.61	0.94
350	2917.5	279.8	288.5	288.5	290.35	0.015837	6.04	486.16	139.12	0.99
300	2917.5	282.47	288.13	288.13	290.04	0.016055	6.12	476.33	125.03	1
250	2917.5	283.02	287.85	287.85	289.34	0.017019	5.41	540.65	183.99	1
200	2917.5	282.87	288.32	288.32	289.86	0.016279	5.56	534.37	173.45	0.99
150	2917.5	282.88	288.67	288.67	290.41	0.01569	5.89	503.45	144.54	0.98
100	2917.5	283.48	289.06	289.06	290.81	0.016173	5.88	499.55	142.69	1
50	2917.5	282.72	288.58	288.58	290.24	0.015956	5.75	513.81	154.43	0.99

Fuente: HEC-RAS

Ilustración 13 Sección hidráulica del eje K0+150 de la localización de de la vía



Fuente: Modelo Hidráulico

La cota máxima de inundación para el periodo de retorno de 100 años es de 288.67 msnm.

Pacto Social por el Desarrollo de Nuestra Región "Caquetá Somos Todos"





10. ESTUDIO DE SOCAVACIÓN

De acuerdo con la American Society of Civil Engineering (Asee), (manual 43), la socavación es "la acción erosiva del agua de una corriente, que excava y transporta el suelo del lecho y de las márgenes. La socavación puede tener lugar tanto en suelos sueltos como en roca sólida".

La socavación es a menudo la causa por la cual un puente queda fuera de servicio, dando lugar al cierre de una carretera, a pérdida de la vida útil, demoras en el tráfico y grandes costos de reparación.

Este es un fenómeno natural que ocurre fundamentalmente en las corrientes aluviales, pero no se limita de ninguna manera a tales corrientes, en virtud de que el desplazamiento del lecho en el cauce y del terreno en las márgenes por procesos de socavación es un fenómeno que puede encontrarse en todo tipo de río o corriente.

Establecer la estabilidad y permanencia de la sección transversal del cauce cuando es sometida a los procesos erosivos generados por la corriente que transporta agua y sedimentos por debajo, y alrededor de pilas y estribos, es de gran importancia cuando se trata de determinar las condiciones para el diseño de las cimentaciones de una estructura de paso. Esta estructura debe resistir las fuerzas de arrastre generadas durante los eventos extraordinarios. La evaluación de la resistencia del material del lecho de fundación es fundamental para fijar la cota mínima a la que se debe implantar la cimentación:

Antes de efectuar un estudio de socavación, es necesario y conveniente plantear algunos conceptos, terminologías y clasificaciones relacionados con las variables que intervienen en el fenómeno, con el fin de entender mejor la metodología los métodos existentes.

La socavación que puede ocurrir en un puente se puede clasificar de la forma siguiente:

- Socavación que tendría lugar en el río, con puente o sin él (socavación natural o geológica).
- Socavación debida a la presencia del puente, por la contracción que ocasiona a la corriente.
- Socavación local, producida por la distorsión del régimen de corriente en las inmediaciones de las pilas y del estribo.

Puesto que el tipo de socavación es resultado del régimen de corriente y de la variación de punto a punto de la capacidad de transporte de sedimentos, los tres tipos clasificados no son del todo independientes. Sin embargo, la separación conceptual de éstas es muy útil para comprender el problema global.





Existen varias clases de comportamiento, características de la corriente implicada en el problema de la socavación. Puede haber un desplazamiento del cauce, como ocurre en la migración de un meandro, etc. Normalmente, la socavación en un lugar está acompañada por el de- pósito en otro, y tras un largo período de tiempo el cauce de la corriente puede avanzar y retroceder en la misma zona. De manera análoga, la socavación y el relleno pueden suceder durante una creciente, ya que el curso del río está formado por una serie de contracciones y expansiones. La contracción o expansión puede ocurrir en el cauce normal del río, en la corriente que circula por el terreno inundado, y regresa de nuevo al cauce, o en las líneas de corriente de éste, como ocurre en las curvas y cruces con los puentes. En una corriente con régimen sub crítico, que es el existente en la mayor parte de los ríos, las contracciones favorecen la socavación durante la creciente y la depositación cuando ésta cede, mientras que las expansiones depositan durante la crecida y socavan en su receso.

La degradación puede producirse de modo natural, con la corriente como agente geológico de erosión, o es posible que la cause el hombre, como sucede cuando se encauza la corriente, que trae como con- secuencia un aumento del caudal unitario o la reducción del aporte de sedimentos en un tramo, como ocurre aguas abajo de una presa. El lecho de la corriente puede descender considerablemente por degradación, con lo que se hace necesario cuantificar su magnitud cuando se realice el estudio hidráulico de un puente que modifica las condiciones del cauce y que genera esta degradación. La vulnerabilidad de los puentes existentes debe comprobarse también al planificar unas obras de control en el río que pueden ocasionar la degradación.

Así mismo, hay que estudiar el tipo de acción que da lugar a un depósito de materiales en el lecho, como la elevación del nivel del agua, que produce la retención de materiales que arrastra la corriente, sobre los miembros inferiores del puente, obstruyendo el paso libre del agua y aumentando la capacidad local de la corriente para transportar sedimentos. La socavación resultante puede ser superior a los depósitos.

Finalmente, está la socavación local, que se origina en las pilas y estribos debido a que la propia presencia de estas estructuras produce un cambio en el régimen de la corriente. La geometría de la estructura y las condiciones de ataque de la corriente sobre la estructura son los factores determinantes de esta socavación, la cual se presenta cuando la capacidad de la corriente para remover o transportar el lecho es mayor que la velocidad con que se reponen los materiales.

Esto sugiere una base para clasificar la socavación local, según la condición de transporte de sedimentos en la zona.

La socavación por agua clara tiene lugar sin transporte de sedimentos, cuando el movimiento del material del lecho ocurre en el sitio adyacente a las pilas. Cuando se remueve el material del hueco de socavación y no se remplaza, la socavación máxima se presenta cuan- do la capacidad de transporte hacia fuera llega a cero. Todo lo contra- rio sucede con la socavación con transporte general de sedimentos, debido a que el hueco de socavación está recibiendo continuamente material de la





carga de sedimentos arrastrados en el lecho. Durante la socavación activa, ambos casos, con aporte de sedimentos y sin él, se diferencian en la velocidad de socavación.

Hay que hacer estudios geológicos y geotécnicos en la zona en que se construya un puente u obra de magnitud, para realizar de manera adecuada el proyecto de cimentación. Si el alcance de estos estudios es suficientemente amplio, no pasará inadvertida la evidencia de socavación natural producida en el pasado. Las indicaciones que se obtengan del examen de estos testigos sobre el alcance de la degradación (o de los depósitos), la modificación del curso del río, los huecos que han quedado o la socavación por contracción pueden proporcionar una buena base para estimar el potencial de la socavación en el lugar. Se debe advertir que normalmente será muy difícil asociar la evidencia pasada de socavación con la magnitud y la frecuencia de la avenida que la produjo.

El perfil del terreno debe emplearse para determinar si existe una capa resistente que pueda interrumpir la socavación. Por otra parte, es posible que haya capas de suelos muy sensibles a la socavación, que se pueden eliminar bastante antes de que se pueda reponer con los sedimentos aportados por la corriente.

Al estimar el potencial de socavación atribuible a causas humanas (especialmente puentes y cimentaciones) es necesario evaluar tres elementos:

- Magnitud y frecuencia de la avenida
- Régimen de corriente para cada avenida
- Socavación Resultante

Ninguna de estas evaluaciones se puede efectuar con la suficiente confiabilidad, pero es necesario hacerlas porque con segundad va a haber socavación, exceptuando el caso en que el lecho del río sea inerosionable. La socavación que más va a interesar a los proyectistas es la que tendrá lugar durante la presencia de avenidas medias a máximas, razón por la cual son claves el conocimiento de la hidráulica y la hidrología del lugar.

En general, los fenómenos de erosión se presentan en el lecho y orillas de los ríos, y se traduce en el descenso de su cota o nivel. Este descenso es ocasionado por la capacidad que tiene la corriente de transportar partículas del lecho, principalmente durante las crecientes o avenidas. Al ser la socavación un fenómeno de erosión, se puede distinguir una primera etapa de desprendimiento de las partículas del lecho, seguida de una etapa de transporte y, finalmente, de una etapa de sedimentación. Para que se desarrolle la primera etapa de desprendimiento de las partículas, todo material, incluyendo las rocas, de acuerdo con los estudios experimentales realizados, tiene una velocidad límite o crítica, a partir de la cual se inicia el movimiento o desprendimiento. Todos los materiales, incluyendo las rocas, se erosionan y soportan el desgaste producido por agua.





11. Socavación General

Si se quiere evaluar la socavación general para los levantamientos topográficos y batimétricos realizados en aguas bajas, se puede suponer que la socavación transversal (socavación producida por el estrechamiento ocasionado por los estribos y los aproches del puente) ya se presentó y por tanto sólo se calcula la socavación general empleando por ejemplo el método de Lischtvan-Levediev, que utiliza las siguientes ecuaciones, ya presentadas, para determinar la profundidad de socavación en suelos homogéneos y cauce con rugosidad uniforme.

$$Hs = \left[\frac{\alpha Ho^{5/3}}{0.60 \, \beta \mu \phi \gamma_s^{1.18}} \right]^{(1/(1+X))}$$

Hs = profundidad de la lámina de agua después de ocurrida la socavación. Se mide desde el nivel del agua cuando pasa la avenida hasta el nivel del fondo del cauce erosionado, m.

Ho = profundidad inicial de la lámina de agua en una línea vertical cualquiera de la sección donde se desee determinar la socavación. Se mide desde el nivel del agua cuando pasa la avenida y el nivel del fondo del cauce registrado durante la estación de estiaje en metros, m (Ho = y).

α= coeficiente de sección o de distribución de gasto.

$$\alpha = \frac{Q_d}{H_m^{5/3} B_e} = \frac{S^{1/2}}{n}$$

Q_d = Caudal de diseño de acuerdo con el período de retorno, m3/s.

Hm = profundidad media de la lámina de agua en la sección, ID.

B_e = Ancho efectivo del canal, descontando todos los obstáculos. Si Be, la corriente incide paralelamente al eje de las pilas será el ancho de la corriente menos el ancho de las pilas que están dentro del cauce. Cuando el ángulo de ataque es diferente de cero, para hallar Be se debe hacer un plano a escala de la planta del puente. Se traza una línea perpendicular al sentido de la corriente, luego se proyectan todos los obstáculos (pilas y estribos) sobre esta línea y Be es la suma de todos los espacios libres

S= pendiente del cauce, m/m

n = coeficiente de rugosidad de Manning

A = área hidráulica de la sección de flujo, m.





β = coeficiente de frecuencia de la creciente. Se expresa en función del período de retorno

$$\beta = 0.7929 + 0.0973 \text{ Log (T_1)}$$

dm = diámetro medio de las partículas del material granular, mm.

$$dm = 0.01^* \Sigma d_i^* P_i$$

Pi= peso de esa fracción expresado en porcentaje con respecto al total de la muestra (porcentaje retenido).

 γ_s = Peso volumétrico del material cohesivo. t/m³

X= exponente variable que depende del peso volumétrico seco (s) del material cohesivo.

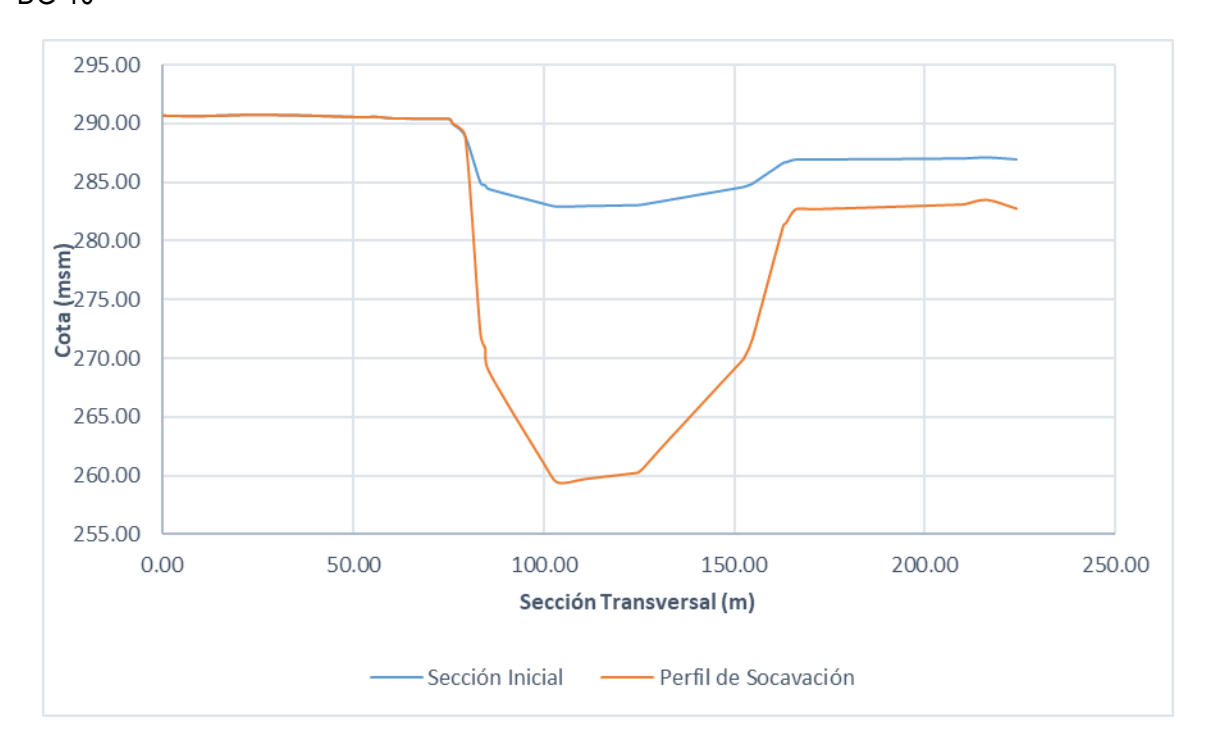
$$X = 0.892619 - 0.58073 \gamma_s + 0.136275 \gamma_s^2$$

μ= coeficiente de corrección por contracción del flujo. Cuando alguno de los elementos de la infraestructura de un puente se mete en la corriente, causa turbulencias al flujo; entonces se debe aplicar un factor de corrección llamado coeficiente en contracción. Este coeficiente es menor que la unidad, y tiene el efecto de incrementar la profundidad de socavación.

$$\varphi = -0.54 + 1.5143 \ \gamma_{as}$$







12. Diseño de redes de acueducto

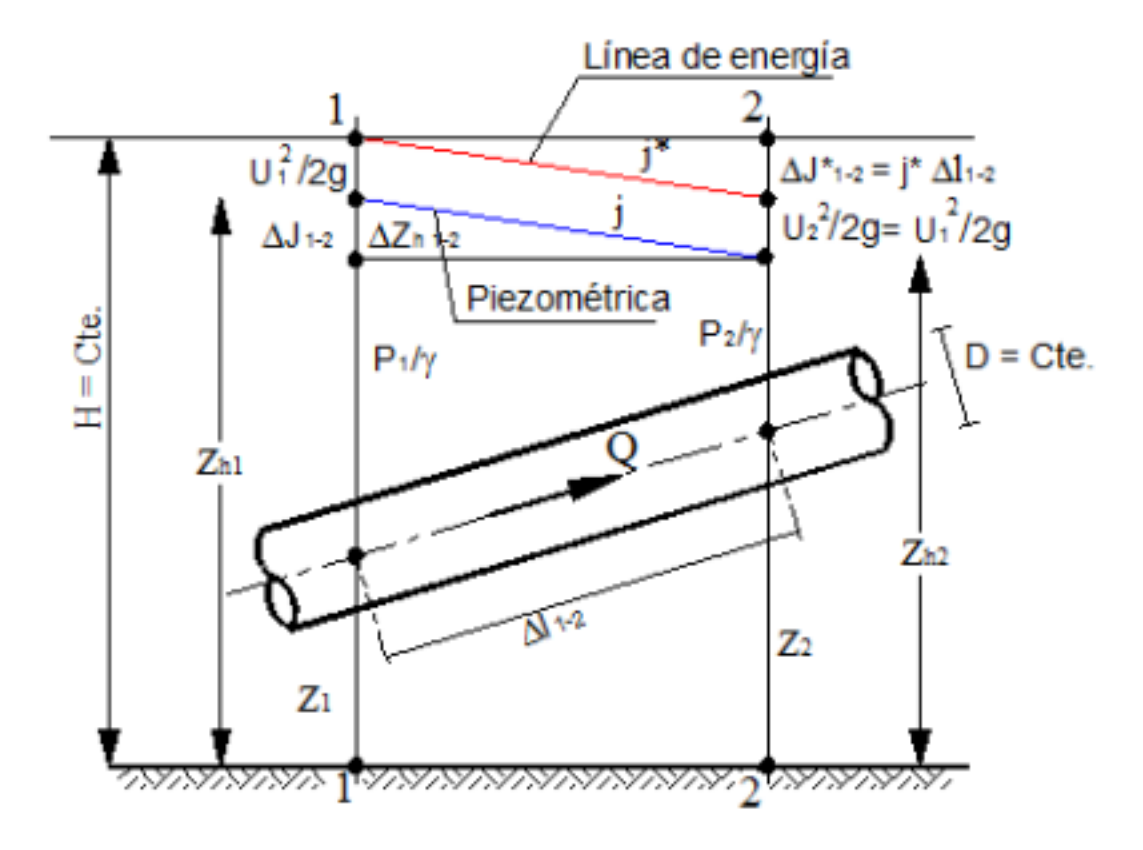
Utilizando el método de factor de simultaneidad y las ecuaciones de pérdidas de energía de Darcy y Colebrook y White, adicionalmente los conceptos establecidos en la Norma Técnica Colombiana NTC 1500. Código de fontanería de Colombia.

$$\Delta J_{1-2}^* = \Delta J_{1-2} = f \frac{\Delta L_{1-2}}{D} \frac{U^2}{2g}$$
 (1)

En la expresión (1) las variables intervinientes son las indicadas en la Figura 1 en la que puede apreciarse el esquema de una conducción a presión, de sección constante, en la que escurre un caudal Q en forma Permanente y Uniforme. En la misma se aprecian el Diámetro de la conducción, el caudal y las líneas de Energía total y la Piezométrica, las que permiten definir, además, las variables hidrodinámicas de la ecuación de referencia.











En resumen se tiene que:

- ΔJ_{1-2}^* es la "Pérdida de Energía Hidráulica" entre las secciones 1-1 y 2-2

- ΔJ₁₋₂ es la "Pérdida de carga" entre las secciones 1-1 y 2-2

- f es el "Coeficiente de Fricción", el desarrollo del cual a través de los distintos autores y consecuentes tiempos, pretendemos narrar

- zi son las "alturas" respecto a un plano arbitrario de comparación (expresión de Remoulli)

- $z_{hi} = z_i + \frac{p_i}{\gamma}$ son las "alturas" suma de las altura topográficas" y de "presión" en

cada sección transversal

ΔL₁₋₂ es la "longitud" del tramo de conducción considerado

- D es el "Diámetro" de la conducción

- Q es el "Caudal" que escurre

- U es la "Velocidad media" del escurrimiento.

En 1845, Julius Weisbach estableció la ecuación con la forma de la (1) dando para el coeficiente f la expresión

$$f = \alpha + \frac{\beta}{\sqrt{V}}$$
 (2)

Los *coeficientes* α y β se brindan en tablas proporcionadas por el autor.

12.1 Parámetros generales de diseño

- Cálculo de pérdidas por fricción estimando un mínimo de presiones de 15 mca desde punto de suministro al aparato mas desfavorable y tanque de almacenamiento.
- Verificación de pérdidas por fricción con operación desde tanque de almacenamiento de agua potable.





Tabla 4 Dotaciones mínimas NTC 1500

Tipología	Subgénero	Dotación mínima	Observaciones
1. Habitación	Vivienda	150 Lts/Hab./día	a
2. Servicios	Cualquier tipo	20 Lts/m2/día	a,c
2.1. Oficinas	Locales comerciales	6 Lts/Hab./día	
2.2. Comercios	Mercados	100 Lts/puesto/ía	a
	Baños públicos	300 Lts/bañista/regadera/día	
	Lavandería de		
	autoservicio	40 Lts/kilo de ropa seca	b
2.3. Salud	Hospitales, clínicas y		
	centros de salud,	800 Lts/cama/día	a,b,c
	orfanato ríos y asilos.	300 Lts/huésped/día	a,c
2.4 Educación	Educación elemental	20 Lts/alumno/turno	a,b,c
	Educación media		
	superior	25 Lts/alumno/turno	a,b,c
	Exposiciones temporales	10 Lts/asistente/día	b
2.5 Recreación	Alimentos y bebidas	12 Lts/comida	a,b,c
	Entretenimiento	6 Lts/asiento/día	a,b
	Circos y ferias	10 Lts/asistente/día	b
	Dotación para animales		
	en su caso	25 Lts/animal/día	
	Recreación social	25 Lts/animal/día	a.c
	Deportes al aire libre,		
	con baño y vestidor	150 Lts/asistente/día	а
	Estadios	10 Lts/asistente/día	a,c
2.6 Alojamiento	Hoteles, moteles y casa		
•	de huéspedes		
		300 Lts/huésped/día	a,c
2.7 Seguridad	Cuarteles	150 Lts/personal/día	a,c
	Reclusorios	150 Lts/interno/día	a,c
2.9 Comunicaciones y transporte	Estación de transporte	10 Lts/pasajero/día	
,	Estacionamiento	2 Lts/m2/día	С
3. Industria	Industria donde se		
	manipulan materiales y		
	sustancias que		
	ocasionen manifiesto		
	desaseo	100 Lts./trabajador	
	Otras industrias	30 Lts/trabajador	
4. Espacios abiertos	Jardines y parques	5 Lts/m2/día	

Observaciones:

- a) Las necesidades de riego se considerarán por separado a razón de 5 Lts/m2/día.
- b) Las necesidades generadas por empleados o trabajadores se considerarán por separado a razón de 100 Lts/trabajador/día.

Ahora bien, el volumen de almacenamiento se aplicará según lo dispuesto en la Resolución 0330 de 2017, para dotaciones de estudiantes y personal administrativo.

La dotación neta corresponde a la cantidad mínima de agua requerida para satisfacer las necesidades básicas de un habitante sin considerar las pérdidas que ocurran en el sistema de acueducto.





12.2 Diseño de red de acometida

12.2.1 Dimensionamiento de Acometida

TRAMO	No de Aparatos	FS	Q Max Posible (L/S)	Q Max Probable	Diámetro mínimo (in)	Diámetro nominal (in)	Diámetro Nominal interno (m)	Velocidad Real
21	0.42	6.30	2.65	1.30	1.5	0.0437	1.77	21

TRAMO	Longitud (m)	RE	f	Energía Cinética (m)	Pérdidas por fricción (m)	No K de pérdidas	Pérdidas Localizadas	Altura (m)	Energía disponible
AC	0.91	67657.0	0.0195	0.1589	0.0647	0.2	0.0318	1	13.90

12.3 Cálculo con suministro desde acometida

a. Caudales de aparatos sanitarios para uso público

Tabla 5 Caudales de suministro

Aparato	Q I/s
Bebedero	0.15
Ducha	0.3
Inodoro de tanque	0.3
Lavamanos	0.2
Lavaplatos	0.25

Fuente: HAR1

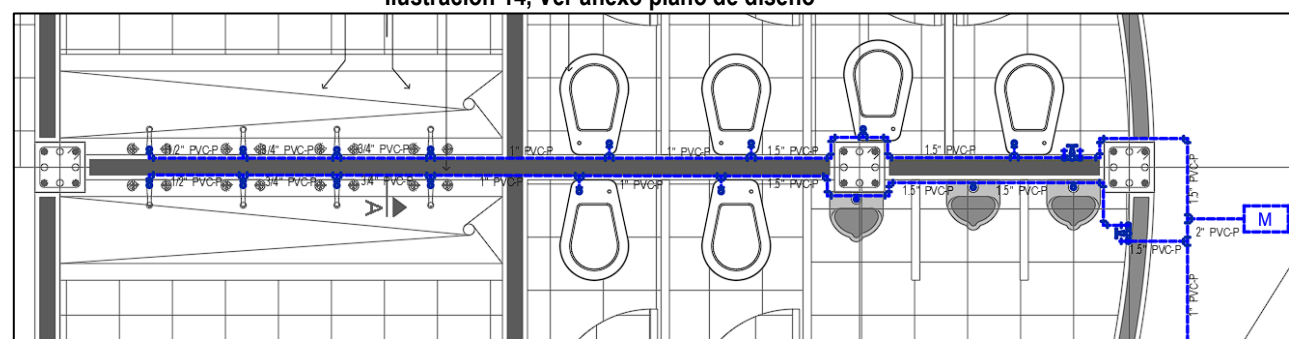
¹ Diseños hidráulicos, sanitarios y de gas, Héctor Alfonso Rodríguez, Editorial Escuela Colombiana de Ingeniería





12.3.1 Geometría propuesta

Ilustración 14, Ver anexo plano de diseño



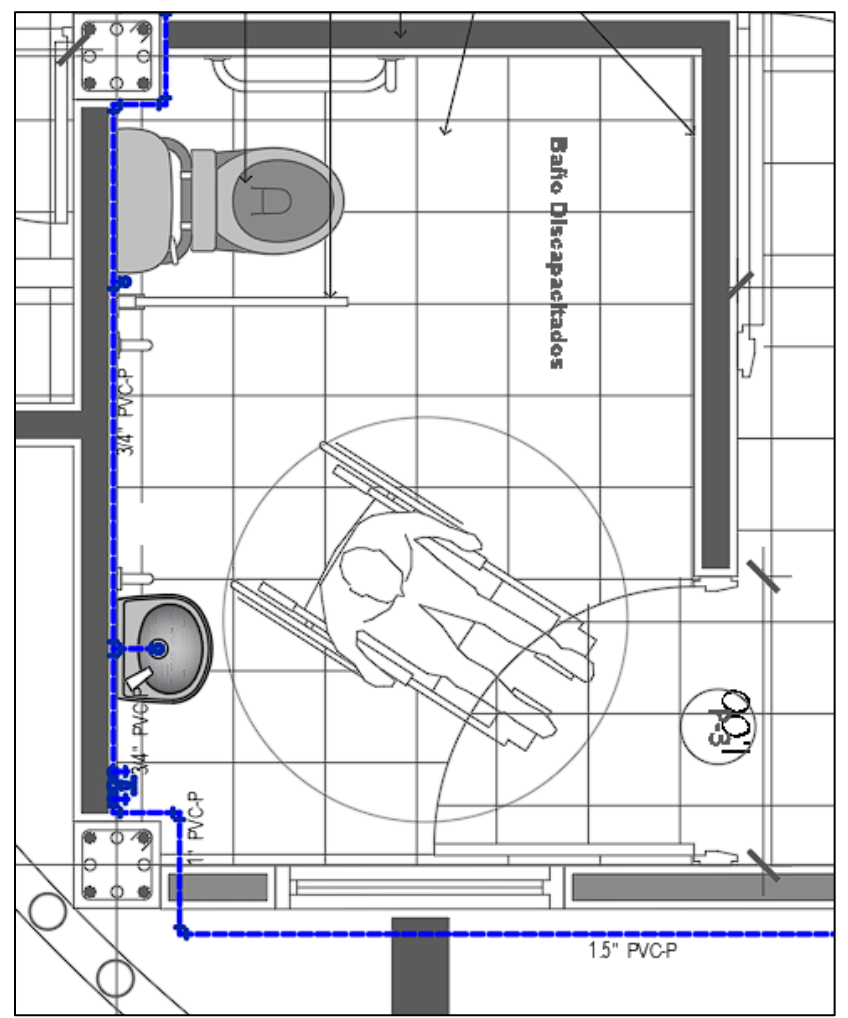


Ilustración 15 Baño Movilidad reducida hombres

Pacto Social por el Desarrollo de Nuestra Región "Caquetá Somos Todos"

Carrera 13 Calle 15 Esquina Barrio El Centro. Tels: 57 (8) 4353220 Fax (8)4351704
Línea Gratuita: 018000965505. www.caqueta.gov.co contactenos@caqueta.gov.co

gobernador@caqueta.gov.co

Florencia – Caquetá





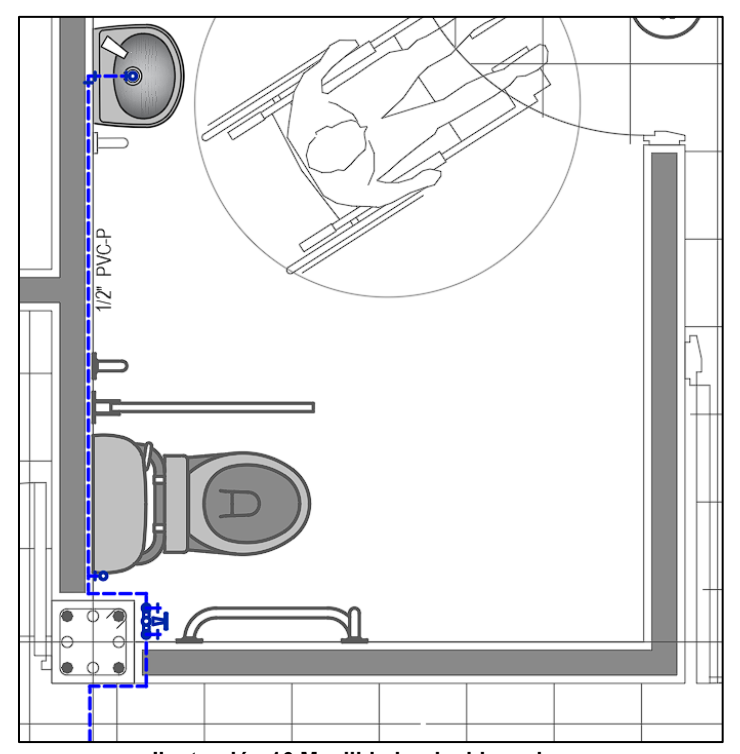


Ilustración 16 Movilidad reducida mujeres

1. Diámetros de Diseño

Tabla 6 Diámetros de diseño

TRAMO	No de Aparatos	FS	Q Max Posible (L/S)	Q Max Probable	Diámetro mínimo (in)	Diámetro nominal (in)	Diámetro Nominal interno (m)	Velocidad Real
AC	21	0.42	6.30	2.65	1.30	1.5	0.0437	1.77
1	1	1	0.30	0.30	0.44	0.5	0.0166	1.39
2	2	1	0.60	0.60	0.62	0.75	0.0218	1.61
3	3	0.68	0.90	0.61	0.62	0.75	0.0218	1.64
4	4	0.62	1.20	0.74	0.69	0.75	0.0218	1.99
5	5	0.59	1.00	0.59	0.61	0.75	0.0218	1.58
6	6	0.56	1.20	0.67	0.65	0.75	0.0218	1.80
7	7	0.54	1.40	0.76	0.69	1	0.0285	1.19
8	8	0.53	1.80	0.95	0.78	1.5	0.0437	0.64
9	1	1	0.30	0.30	0.44	0.5	0.0166	1.39
10	2	1	0.60	0.60	0.62	0.75	0.0218	1.61

Pacto Social por el Desarrollo de Nuestra Región "Caquetá Somos Todos"

Carrera 13 Calle 15 Esquina Barrio El Centro. Tels: 57 (8) 4353220 Fax (8)4351704
Línea Gratuita: 018000965505. www.caqueta.gov.co contactenos@caqueta.gov.co

gobernador@caqueta.gov.co





TRAMO	No de Aparatos	FS	Q Max Posible (L/S)	Q Max Probable	Diámetro mínimo (in)	Diámetro nominal (in)	Diámetro Nominal interno (m)	Velocidad Real
11	3	0.68	0.90	0.61	0.62	0.75	0.0218	1.64
12	4	0.62	1.20	0.74	0.69	0.75	0.0218	1.99
13	5	0.59	1.50	0.89	0.75	1	0.0285	1.39
14	6	0.56	1.80	1.01	0.80	1	0.0285	1.58
15	7	0.54	2.10	1.13	0.85	1	0.0285	1.78
16	8	0.53	2.40	1.27	0.90	1	0.0285	2.00
17	9	0.51	2.70	1.38	0.94	1.5	0.0437	0.92
18	4	0.62	1.20	0.74	0.69	0.75	0.0218	1.99
19	3	0.68	0.90	0.61	0.62	0.75	0.0218	1.64
20	2	1	0.60	0.60	0.62	0.75	0.0218	1.61
21	1	1	0.30	0.30	0.44	0.5	0.0166	1.39

Fuente: Diseño Hidráulico

Tabla 7 Pérdidas por fricción por tramo

TRAMO	Longitud (m)	RE	f	Energía Cinética (m)	Pérdidas por fricción (m)	No K de pérdidas	Pérdidas Localizadas	Altura (m)	Energía disponible
AC	0.91	67657.0	0.0195	0.1589	0.0647	0.2	0.0318	1	13.90
1	0.56	20184.5	0.0268	0.0979	0.0886	0.2	0.0196	1	13.89
2	0.56	30725.6	0.0239	0.1315	0.0806	0.2	0.0263	1	13.89
3	0.56	31340.1	0.0238	0.1368	0.0834	0.2	0.0274	1	13.89
4	1.07	38099.8	0.0226	0.2021	0.2239	0.2	0.0404	1	13.74
5	0.85	30213.5	0.0240	0.1271	0.1189	0.2	0.0254	1	13.86
6	0.85	34412.7	0.0232	0.1649	0.1490	0.2	0.0330	1	13.82
7	0.91	29647.4	0.0241	0.0718	0.0553	0.2	0.0144	1	13.93
8	1.63	24393.3	0.0254	0.0207	0.0196	0.2	0.0041	1	13.98
9	0.56	20184.5	0.0268	0.0979	0.0886	0.2	0.0196	1	13.89
10	0.56	30725.6	0.0239	0.1315	0.0806	0.2	0.0263	1	13.89
11	0.56	31340.1	0.0238	0.1368	0.0834	0.2	0.0274	1	13.89
12	0.89	38099.8	0.0226	0.2021	0.1862	0.2	0.0404	1	13.77
13	0.85	34706.3	0.0231	0.0984	0.0679	0.2	0.0197	1	13.91
14	0.81	39529.9	0.0223	0.1276	0.0811	0.2	0.0255	1	13.89
15	0.70	44471.1	0.0217	0.1615	0.0861	0.2	0.0323	1	13.88
16	0.60	49883.0	0.0211	0.2032	0.0902	0.2	0.0406	1	13.87
17	1.16	35209.2	0.0230	0.0430	0.0263	0.2	0.0086	1	13.97
18	14.37	38099.8	0.0226	0.2021	3.0069	0.2	0.0404	1	10.95
19	1.27	31340.1	0.0238	0.1368	0.1892	0.2	0.0274	1	13.78

Pacto Social por el Desarrollo de Nuestra Región "Caquetá Somos Todos"

Carrera 13 Calle 15 Esquina Barrio El Centro. Tels: 57 (8) 4353220 Fax (8)4351704 Línea Gratuita: 018000965505. www.caqueta.gov.co contactenos@caqueta.gov.co

gobernador@caqueta.gov.co





Nit: 800.091.594-4

DG-10

TRAMO	Longitud (m)	RE	f	Energía Cinética (m)	Pérdidas por fricción (m)	No K de pérdidas	Pérdidas Localizadas	Altura (m)	Energía disponible
20	3.32	30725.6	0.0239	0.1315	0.4780	0.2	0.0263	1	13.50
21	1.81	20184.5	0.0268	0.0979	0.2864	0.2	0.0196	1	13.69

2. RED SANITARIA

Los caudales adoptados para el sistema de acueducto son los mismos a utilizar en el sistema de alcantarillado, la ecuación que representa el fenómeno físico propuestos en Manning.

Parámetros de diseño b.

Material	PVC
Rugosidad	0.01
Ecuación	Manning
	Sistema
Unidades	Internacional





Tabla 8 Unidades de descarga NTC 1500

Aparatos	Ocupación	Tipo de control del suministro	Unidades de descarga	Diámetro de la tubería de desagüe, mm (pulgadas)
Inodoro	Público	Fluxómetro	10	102 (4)
Inodoro	Público	Tanque de limpieza	5	102 (4)
Orinal	Público	Fluxómetro de Φ = 25,4 mm (1 pulgada)	10	51 (2)
Orinal	Público	Fluxómetro de Φ = 19,0 mm (3/4 de pulgada)	5	51 (2)
Orinal	Público	Tanque de limpieza	3	51 (2)
Orinal	Público	Llave	2	51 (2)
Lavamanos	Público	Llave	4	51 (2)
Tina / Ducha	Público	Válvula mezcladora	4	51 (2)
Fregadero de servicio	Oficial, etc.	Llave	3	51 (2)
Fregadero de cocina	Hotel, restaurante	Llave	4	51 (2)
Inodoro	Privado	Fluxómetro	6	102 (4)
Inodoro	Privado	Tanque de limpieza	3	102 (4)
Lavamanos	Privado	Llave	1	51 (2)
Bidé	Privado	Llave	1	51 (2)
Tina	Privado	Llave	2	51 (2)
Ducha	Privado	Válvula mezcladora	2	51 (2)
Cuarto de baño	Privado	Un fluxómetro por cuarto	8	
Ducha separada	Privado	Válvula mezcladora	2	51 (2)
Fregadero de cocina	Privado	Llave	2	51 (2)
Lavadero de 1 a 3 compartimientos	Privado	Llave	3	51 (2)
Lavadora	Privado	Llave	2	
Lavadora	Pública	Llave	4	
Combinación de accesorios	Privado	Llave	3	
Poceta de aseo	Pública	Llave	3	
Lavaplatos eléctricos	Público/Privado	Llave	3/6	
Sifones de piso			1	51 (2)

Fuente: NTC 1500





c. Geometría Propuesta

Illustración 17 Esquema 1

Fuente: Planos de diseño

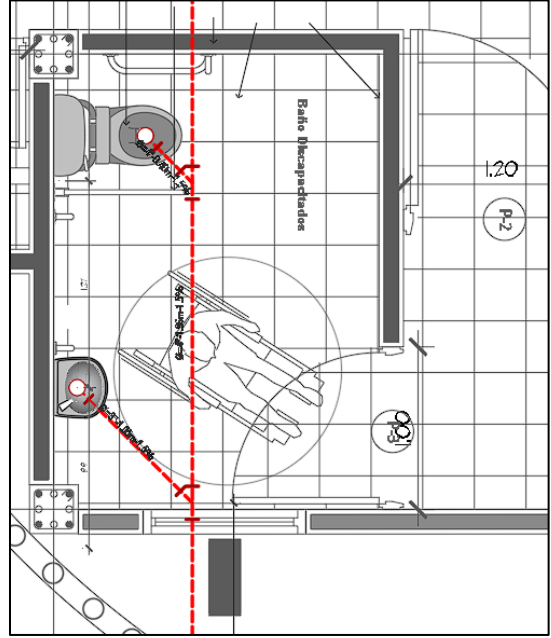


Ilustración 18 Baños movilidad reducida hombres

Pacto Social por el Desarrollo de Nuestra Región "Caquetá Somos Todos"

Carrera 13 Calle 15 Esquina Barrio El Centro. Tels: 57 (8) 4353220 Fax (8)4351704
Línea Gratuita: 018000965505. www.caqueta.gov.co contactenos@caqueta.gov.co gobernador@caqueta.gov.co

Florencia – Caquetá





d. Diseño Sanitario





Tabla 9 Zona oriental de baños públicos

						18	ibia y z	zona orie	entai de	e baños p	ublicos							
TRAMO		UNIDADES		Q	L	D	D real	S	Qo	Vo	F1							DH
	Aparatos	PROPIAS	ACUM	L/S	m	pulg	pulg	%	l/s	m/s	kg/m2					m/s		m
										> 0,6 ok	> 0,15 ok		< 0,5 ok			0,9>1	IF Y NF>	1.1 ok
																> 0,6 ok		
1	LM	2	8	1.36	1.7	3	3.0000	1.5	4.43	0.97	0.29	0.31	0.326	0.738	0.025	0.716	1.45	0.026
2	WC	8	8	1.36	0.92	4	4.2402	1.5	11.14	1.22	0.40	0.12	0.190	0.566	0.020	0.692	1.55	0.014
3			16	2.0056	0.85	4	4.2402	1.5	11.14	1.22	0.40	0.18	0.236	0.626	0.025	0.765	1.53	0.013
4	WC	8	8	1.36	0.92	4	4.2402	1.5	11.14	1.22	0.40	0.12	0.190	0.566	0.020	0.692	1.55	0.014
5			24	6.2714	0.95	4	4.2402	1.5	11.14	1.22	0.40	0.56	0.505	0.893	0.054	1.091	1.49	0.014
6	SF	4	4	0.68	1.21	4	4.2402	1.5	11.14	1.22	0.40	0.06	0.129	0.452	0.014	0.553	1.50	0.018
7	SF	4	4	0.68	0.76	4	4.2402	1.5	11.14	1.22	0.40	0.06	0.129	0.452	0.014	0.553	1.50	0.011
8			32	8.3619	0.43	4	4.2402	1.5	11.14	1.22	0.40	0.75	0.678	0.975	0.073	1.192	1.41	0.006
9	SF	4	4	0.68	0.6	4	4.2402	1.5	11.14	1.22	0.40	0.06	0.129	0.452	0.014	0.553	1.50	0.009
10			36	9.4072	2.65	6	6.3008	1	26.15	1.30	0.40	0.36	0.361	0.778	0.058	1.011	1.34	0.027
11	LM	2	8	1.36	1.7	3	3.0000	1.5	4.43	0.97	0.29	0.31	0.326	0.738	0.025	0.716	1.45	0.026
12	WC	8	8	1.36	0.92	4	4.2402	1.5	11.14	1.22	0.40	0.12	0.190	0.566	0.020	0.692	1.55	0.014
13			16	2.0056	0.65	4	4.2402	1.5	11.14	1.22	0.40	0.18	0.236	0.626	0.025	0.765	1.53	0.010
14	WC	8	8	1.36	0.92	4	4.2402	1.5	11.14	1.22	0.40	0.12	0.190	0.566	0.020	0.692	1.55	0.014
15			24	6.2714	0.65	4	4.2402	1.5	11.14	1.22	0.40	0.56	0.505	0.893	0.054	1.091	1.49	0.010
16	WC	8	8	1.36	0.92	4	4.2402	1.5	11.14	1.22	0.40	0.12	0.190	0.566	0.020	0.692	1.55	0.014
17			32	8.3619	0.65	4	4.2402	1.5	11.14	1.22	0.40	0.75	0.678	0.975	0.073	1.192	1.41	0.010
18	WC	8	8	1.36	0.72	4	4.2402	1	9.09	1.00	0.27	0.15	0.213	0.596	0.023	0.594	1.25	0.007
19			40	10.452	2.65	6	6.3008	1.5	32.02	1.59	0.60	0.33	0.338	0.752	0.054	1.197	1.64	0.040
20	LM	2	2	0.34	1.7	2	2.1449	1.5	1.81	0.78	0.20	0.19	0.242	0.634	0.013	0.492	1.37	0.026
21	WC	8	8	1.36	0.92	4	4.2402	1.5	11.14	1.22	0.40	0.12	0.190	0.566	0.020	0.692	1.55	0.014
22			10	1.6886	3.31	4	4.2402	1.5	11.14	1.22	0.40	0.15	0.214	0.598	0.023	0.731	1.54	0.050
23	WC	8	8	1.36	0.4	2	2.1449	1.5	1.81	0.78	0.20	0.75	0.679	0.976	0.037	0.757	1.26	0.006
24	LM	2	2	0.34	0.92	4	4.2402	1.5	11.14	1.22	0.40	0.03	0.087	0.368	0.009	0.449	1.48	0.014
25			20	5.2262	3.31	4	4.2402	1.5	11.14	1.22	0.40	0.47	0.435	0.852	0.047	1.042	1.54	0.050
T-final			96	25.086	2.65	6	6.3008	1.5	32.02	1.59	0.60	0.78	0.717	0.987	0.115	1.572	1.48	0.040



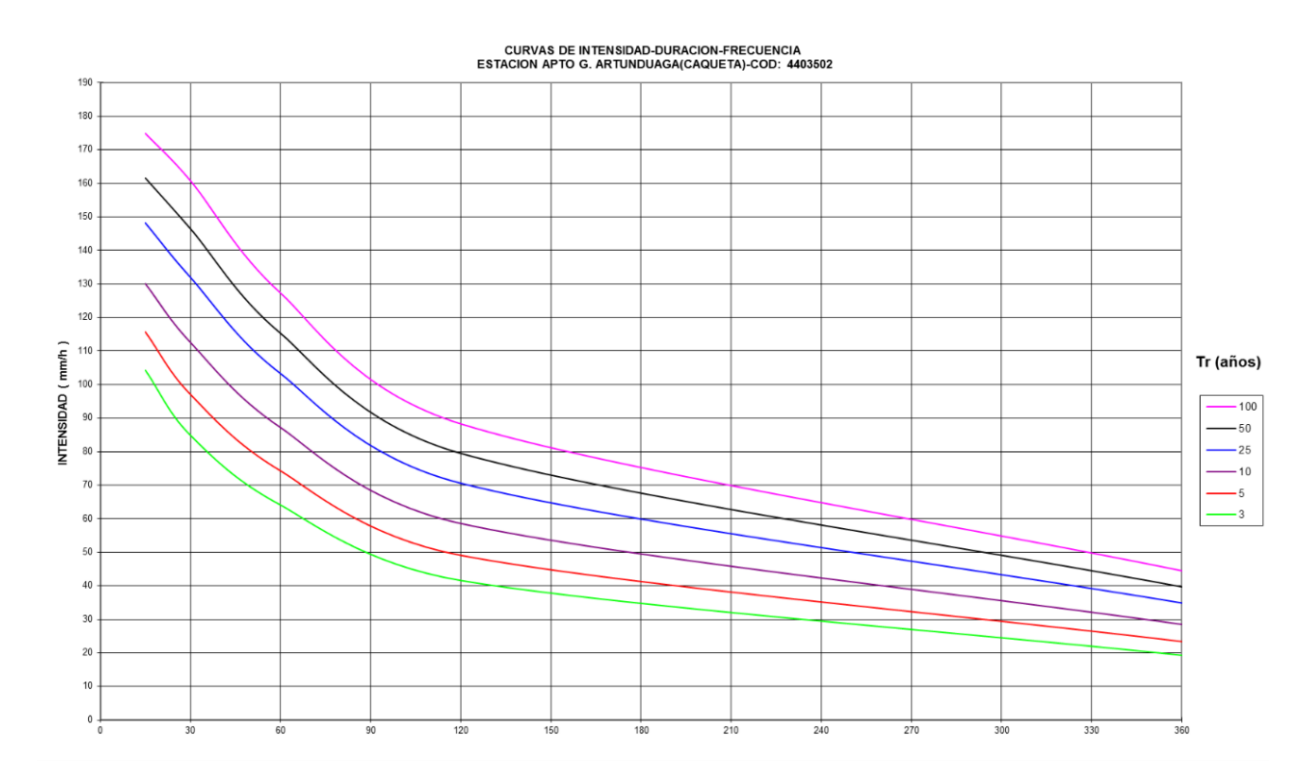


3. Diseño de Aguas Lluvias

3.1. Parámetros de Diseño

- Periodo de retorno 5 años
- Intensidad de Iluvia 154.1 mm/hora

3.2. Curvas IDF



Las curvas IDF corresponden a las curvas del IDEAM para la estación Aeropuerto Gustavo Artunduaga Paredes de la ciudad de Florencia, Identificada con ID 4403502





3.3. Coeficiente de escorrentía

			Perio	do de reto	orno (año	s)	
Característica de la superficie	2	5	10	25	50	100	500
Áreas desarrolladas							
Asfáltico	0.73	0.77	0.81	0.86	0.90	0.95	1.00
Concreto/techo	0.75	0.80	0.83	0.88	0.92	0.97	1.00
Zonas verdes (jardines, parqu	es, etc.)						
Condición pobre (cubierta	de pasto	menor de	l 50% de	l área)			
Plano, 0-2%	0.32	0.34	0.37	0.40	0.44	0.47	0.58
Promedio, 2-7%	0.37	0.40	0.43	0.46	0.49	0.53	0.61
Pendiente, superior a 7	% 0.40	0.43	0.45	0.49	0.52	0.55	0.62
Condición promedio (cubi	ierta de pa	sto del 50	al 75%	del área)			
Plano, 0-2%	0.25	0.28	0.30	0.34	0.37	0.41	0.53
Promedio, 2-7%	0.33	0.36	0.38	0.42	0.45	0.49	0.58
Pendiente, superior a 7	% 0.37	0.40	0.42	0.46	0.49	0.53	0.60
Condición huena (cubierta	a de pasto	mayor de	1 75% de	l área)			
Plano, 0-2%	0.21	0.23	0.25	0.29	0.32	0.36	0.49
Promedio, 2-7%	0.29	0.32	0.35	0.39	0.42	0.46	0.56
Pendiente, superior a 7	% 0.34	0.37	0.40	0.44	0.47	0.51	0.58

Tabla 10 Caudal de diseño y diámetros de bajantes de aguas lluvias

l'abia 10 Caudai de diseno y diametros de bajantes de aguas iluvias										
DIMENSIONAMIENTO DE LA RED INTERIOR DE DESAGUES SANITARIOS										
BAJANTES DE AGUAS LLUVIAS										
						r =	0.20			
Ítem	Coeficiente de escorrentía	Área m2	Área (ha)	Intensidad mm/hora	intensidad inches/hora	Q m3/s	Q L/s	Φ pulg	Φ mm	Φ adoptado pulgadas
1	1	44	0.0044	154.1	6.1	0.001883	1.88	2.8081	71.3258	4





13. CONCLUSIONES Y RECOMENDACIONES

- De acuerdo a la información administrada por el Instituto de Hidrología, Meteorología y Estudios Ambientales, y al análisis de caudales máximos instantáneos para un periodo de retorno de 100 Años, el caudal máximo probable asciende a 2917.5 m³/s.
- Una vez analizada la implantación de la infraestructura turística, no se evidencia riesgo por inundación, sin embargo se recomienda proteger la escalera que se encuentra dentro del cauce, con una cimentación por debajo del perfil de socavación.

Elaboró

DIEGO ARMANDO GALLEGO MURIEL

Ms Ingenierla Civil

Enfasis en recursos hidráulicos y medio ambiente